

Procedimiento de apoyo en hardware para un sistema de
reconocimiento de voz

UNIVERSIDAD DEL VALLE DE GUATEMALA

Facultad de Ciencias y Humanidades

Procedimiento de apoyo en hardware para un sistema de
reconocimiento de voz

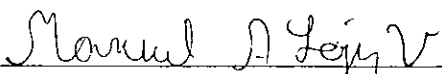
BIBLIOTECA
C. I. A.
UNIVERSIDAD DEL VALLE DE GUATEMALA

Trabajo de investigación presentado por Pedro Miguel Viscovich
Siitari para optar al grado de Ingeniero en Electrónica

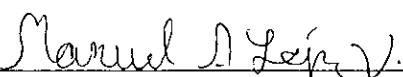
Guatemala

2002

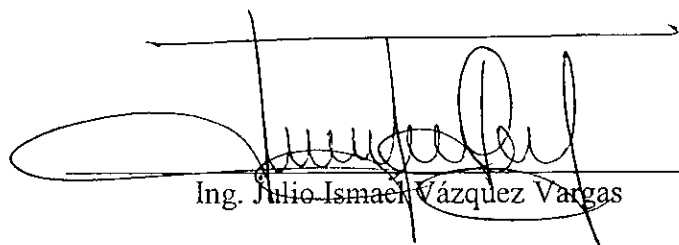
vo. BO.


Asesor: Dr. Ing. Manuel Antonio López Valdez

Tribunal:


Dr. Ing. Manuel Antonio López Valdez


Ing. Gonzalo Antonio Palarea Murga


Ing. Julio Ismael Vázquez Vargas

Fecha de Aprobación: 2 de julio del 2002

RESUMEN

Este trabajo de investigación se enfoca en la utilización de la transformada rápida de Fourier (FFT) integrada en un microcontrolador para un sistema de reconocimiento de voz por medio de patrones frecuenciales. El problema tratado en este trabajo consiste primordialmente en la integración de la transformada rápida de Fourier dentro del microcontrolador, con el objetivo de reducir el tiempo de procesamiento de dicha transformada; así como verificar el funcionamiento adecuado por medio de los resultados obtenidos al realizar la transformada.

Al integrar todos los pasos y cálculos necesarios para realizar la transformada en hardware, se presentan ciertos problemas como lo son la utilización del punto fijo y la falta de resolución, tanto en decimales como en enteros, para representar fielmente los valores numéricos necesarios para realizar la transformada con mayor precisión. Se observa también que, al realizar la normalización de la señal compuesta de entrada y su respectivo muestreo, se pierde la forma original de la señal debido que el muestreo de la misma fue realizado exactamente al doble de la frecuencia máxima de la función.

Se demuestra, por lo tanto, que realizar la transformada rápida de Fourier en el microcontrolador es posible, pero se sacrifican ciertos aspectos como el tiempo de operación y ciertos errores de aproximación que, dependiendo del caso de la aplicación que se le quiera dar, pueda incurrir en una cantidad de errores que conduzcan a un resultado desfavorable de dicha aplicación.

ÍNDICE

	Página
RESUMEN.....	v
LISTA DE CUADROS Y GRÁFICAS.....	vii
LISTA DE FIGURAS.....	viii
Capítulos	
I. INTRODUCCIÓN.....	1
II. ANTECEDENTES.....	4
III. DETERMINACIÓN DEL PROBLEMA.....	6
IV. MARCO TEÓRICO.....	7
V. METODOLOGÍA.....	15
VI. ANÁLISIS Y PRESENTACIÓN DE RESULTADOS.....	31
VII. CONCLUSIONES.....	42
VIII. RECOMENDACIONES.....	44
IX. BIBLIOGRAFÍA.....	45
X. APÉNDICES.....	46

LISTA DE CUADROS Y GRÁFICAS

Cuadro	Página
1. Opciones para interfase.....	19
2. Comparación de dispositivos Microchip considerados.....	20
Gráfica	
1(a). Senoidal compuesta.....	31
1(b). Senoidal compuesta (primeras 500 muestras).....	32
2(a). Senoidal compuesta normalizada.....	33
2(b). Senoidal compuesta normalizada (primeras 500 muestras).....	34
2(c). Comparación senoidal compuesta y senoidal compuesta normalizada.....	34
2(d). Comparación senoidal compuesta y senoidal compuesta normalizada (primeras 500 muestras).....	34
3. Espectro frecuencial, senoidal compuesta (procedimiento FFT microcontrolador).....	35
4. Espectro frecuencial, senoidal compuesta (procedimiento FFT C++).....	36
5. Espectro frecuencial, senoidal compuesta (procedimiento FFT C++).....	37
6. Muestra original comando "GET".....	38
7. Resultado de normalización en PIC.....	39
8. Resultado FFT PIC.....	39
9. Resultado FFT C++.....	40
10. Comparación FFT de C++ vrs. PIC.....	40
11. GET.....	41

LISTA DE FIGURAS

Figura	Página
1. Proceso requerido para realizar la transformada de Fourier.....	2
2. Comparación de eficiencia entre DFT y FFT.....	12
3. Diagrama de mariposa, FFT de ocho puntos.....	14
4. Esquema general de integración del proyecto.....	15
5. Esquema de posicionamiento de bits.....	17
6. Diagrama de flujo de la FFT.....	21
7. Procedimiento de reversión de bits.....	22
8. Diagrama de mariposa.....	24
9. Separación de pares e impares.....	24
10. Segmento del seno utilizado.....	26
11. Separación en cuatro partes de la función seno.....	27
12. Separación por simetría.....	28
13. Recombinación de transformadas.....	29

I. INTRODUCCIÓN

Para que la tecnología sea aceptada por un grupo cada vez mayor de usuarios, es necesario que la interacción con el humano se lleve a cabo de forma natural y accesible a las funciones innatas del hombre. La voz, es probablemente la herramienta más poderosa que el hombre conoce, y fue su desarrollo el que permitió intercambiar ideas entre humanos al evolucionar el lenguaje.

Siendo esta herramienta tan poderosa, es muy curioso que la misma encuentre tan poca implementación para la comunicación con sistemas técnicos. Por el contrario, se pueden observar tendencias con interfaces humanas poco naturales como son los teclados minúsculos para computadoras de bolsillo cada vez más compactas.

Las razones residen en la dificultad técnica de reconocer el lenguaje humano por la voz de forma inequívoca e independiente del individuo. Por lo visto, imitar la función humana de reconocimiento de voz, que parece tan natural, es un desafío técnico de grandes proporciones.

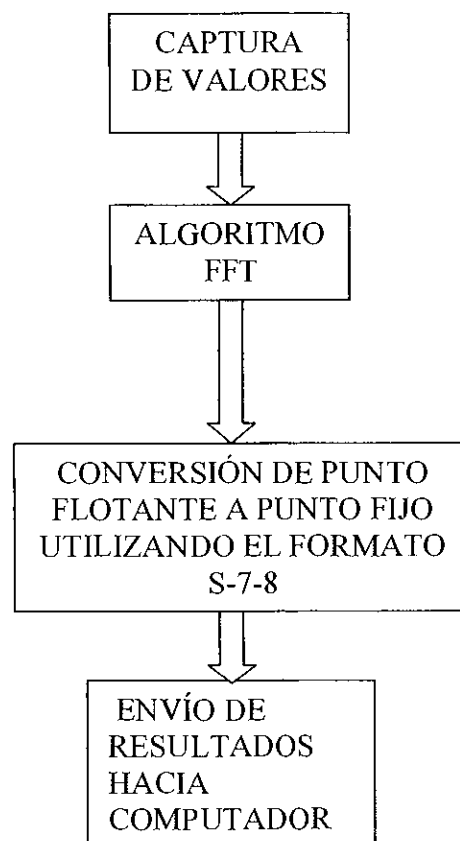
Las investigaciones en este campo se han concentrado tradicionalmente en el reconocimiento de patrones de voz en el régimen de tiempo. Es decir, se analizan las señales que se generan con el registro de ondas sonoras por micrófonos de acuerdo a la secuencia en que aparecen en el tiempo. Los métodos desarrollados son discrecionalmente complejos pero, por lo visto, no han encontrado amplia difusión en la tecnología de interacción.

Un método alternativo de reconocimiento ofrece el régimen de frecuencia. El fundamento de estos métodos son las transformadas de señales de tiempo a señales de frecuencia (p.e. la transformada de Fourier). El método pretende reconocer los patrones de voz, no por la secuencia en que aparecen en el tiempo, sino por la configuración de frecuencias empleadas para reproducir el fonema a reconocer.

El presente trabajo, se encuentra anidado en un trabajo de investigación del departamento de electrónica de la Universidad del Valle de Guatemala, que busca un nuevo enfoque que reúna las siguientes propiedades:

- reconocimiento de voz por medio de frecuencias fonéticas,
- portabilidad de soluciones evitando tener que usar computadoras para el eficaz reconocimiento de la voz,
- reconocimiento de voz en tiempo real y
- solución de bajo costo.

Figura No. 1: Proceso requerido para realizar la transformada de Fourier



La primera propiedad no es objeto de investigación del presente trabajo. Sin embargo, la misma requiere del resultado práctico de este estudio para poder cumplir con los otros objetivos.

Para lograr un reconocimiento portable y en tiempo real, es necesario recurrir a la tecnología de microcontroladores. Para cumplir con el último requisito, se optó por investigar la posible realización de un sistema de reconocimiento de voz, utilizando microcontroladores de bajo costo.

Estos últimos tienen la desventaja de poseer muy pocas funciones matemáticas implementadas, las que tienen que ser emuladas por pequeños paquetes de software, que a su vez presentan problemas de consumo de tiempo.

El objetivo científico del presente trabajo es investigar la viabilidad de realización de la así llamada transformada rápida de Fourier en un microcontrolador de bajo costo, para ser usada en un sistema de reconocimiento de voz en el régimen frecuencial. Si bien los resultados obtenidos no realizan las funciones esperadas, el resultado práctico consiste en la argumentación de todas las limitaciones encontradas para la realización de tan exigente proyecto.

II. ANTECEDENTES

La transformada de Fourier especifica el contenido espectral de una señal continua no periódica, proporcionando así una descripción en el dominio de la frecuencia de la misma. De especial interés resulta la transformación de señales discretas en el tiempo, es decir, señales que consisten en una sucesión de valores discretos provenientes del muestreo de una señal continua en tiempo. El procesamiento de este tipo de señales resulta importante dado su fácil manejo y representación.

Para el caso de señales discretas en el tiempo, se desarrolló lo que hoy se conoce como la transformada discreta de Fourier (DFT por sus siglas en inglés), cuyos resultados brindan una gran cantidad de información sobre el contenido frecuencial de la onda discreta que se está analizando. Sin embargo, el algoritmo de determinación de la transformada discreta de Fourier es exhaustivo, y requiere de una gran cantidad de cálculos. Aún y cuando es posible desarrollar el algoritmo correspondiente e implementarlo como una rutina de software, la naturaleza del algoritmo no permite que los cálculos se ejecuten eficientemente, aumentando de forma considerable el tiempo de procesamiento necesario para realizar la transformación. Lo anterior motivó al desarrollo de un algoritmo mucho más eficiente, comúnmente conocido como la transformada rápida de Fourier (FFT por sus siglas en inglés), que fue ideado como solución al problema computacional del algoritmo original de la DFT, aún y cuando los resultados obtenidos a través de este algoritmo coinciden exactamente con los que se obtendrían por medio de una DFT, con la ventaja de minimizar el tiempo de procesamiento. Para la correcta aplicación del algoritmo de FFT, la secuencia de datos de entrada contiene un número 2^n de datos. En caso se requiera del procesamiento de una secuencia que no cumpla con este requisito, deberán llenarse de ceros todas las posiciones que hagan falta para lograr que el número de elementos sea del tipo 2^n .

Actualmente, existe una necesidad marcada por minimizar aún más el tiempo de procesamiento de la transformada rápida de Fourier; dado que muchas aplicaciones de diversa índole necesitan cada vez más de los resultados que esta transformada proporciona.

Uno de los principales problemas al implementar este tipo de herramientas en rutinas de software es el tiempo que el microprocesador debe dedicar a la aplicación del algoritmo, dejando en segundo plano el procesamiento de señales que pueden ser cruciales para la aplicación que se está desarrollando. Como solución a este problema, se propone la implementación del algoritmo de FFT en un microcontrolador, con una interfase hacia una computadora personal. De esta manera se logra tener un microcontrolador dedicado única y exclusivamente a la aplicación del algoritmo de FFT, descargando significativamente la tarea del microprocesador central, que puede dedicarse enteramente al manejo de alguna aplicación específica.

III. DETERMINACIÓN DEL PROBLEMA

Se pretende reducir el tiempo de procesamiento de un algoritmo de transformada rápida de Fourier, implementándolo en un microcontrolador dedicado exclusivamente a su cálculo. Existen varias formas para lograr una comunicación entre una computadora personal y un microcontrolador. A esto se le conoce como interfase. Existen muchas diferentes formas de interfases de las cuales las principales diferencias consisten en velocidades, medios de transmisión y número de conductores. El microcontrolador tendrá una interfase a una computadora personal de la cual recibe los datos a ser transformados y a la cual envía los resultados de la operación.

A. Objetivos Específicos:

1. Demostrar que es posible realizar una transformada rápida de Fourier (FFT) de 4096 muestras en un microcontrolador.
2. Comprobar la reducción de tiempo de cálculo al comparar el procedimiento implementado en el microcontrolador con una rutina de software ejecutada en una computadora personal.
3. Aplicar la herramienta desarrollada al procesamiento de señales de voz.

IV. MARCO TEÓRICO

A. Transformada de Fourier

La transformada de Fourier viene de un caso límite de la serie de Fourier en su forma exponencial:

$$f(t) = \sum_{n=-\infty}^{\infty} C_n e^{jnw_0 t}$$

Donde,

$$C_n = \frac{1}{T} \int_{-T/2}^{T/2} f(t) e^{-jnw_0 t} dt$$

Si se considera el caso en que el período fundamental T tiende al infinito, la función deja de ser periódica, y los coeficientes de la serie de Fourier (C_n) tienden a cero. De esta manera, considérese el producto $C_n T$, en el límite cuando T tiende al infinito:

$$C_n T \rightarrow \int_{-\infty}^{\infty} f(t) e^{-j\omega t} dt, \text{ cuando } T \text{ tiende al infinito}$$

La integral descrita es la Transformada de Fourier, la cual se define formalmente como:

$$F(\omega) = \mathfrak{F}\{f(t)\} = \int_{-\infty}^{\infty} f(t) e^{-j\omega t} dt$$

B. Transformada discreta de Fourier

La DFT (Transformada Discreta de Fourier) es un procedimiento matemático utilizado para determinar el contenido frecuencial de una secuencia discreta, formada por el muestreo de una señal continua en el tiempo. Se origina en la definición de la transformada de Fourier. Se define la DFT como:

$$X(m) = \sum_{n=0}^{N-1} x(n)e^{-j2\pi mn/N}$$

donde $x(n)$ es una secuencia discreta de valores muestreados en el dominio del tiempo de una función continua $x(t)$. Para entender mejor la DFT, su definición suele expresarse en términos de senos y cosenos, a través de la identidad de Euler. Así:

$$e^{\pm j\phi} = \cos(\phi) \pm j\text{sen}(\phi)$$

Al sustituir la relación de Euler en la DFT, obtenemos lo siguiente:

$$X(m) = \sum_{n=0}^{N-1} x(n) \left[\cos\left(\frac{2n\pi m}{N}\right) - j\text{sen}\left(\frac{2n\pi m}{N}\right) \right]$$

Donde m es el índice de la salida de la DFT en el dominio de la frecuencia ($m=0,1,2,\dots,N-1$) y n es el índice del dominio del tiempo de las muestras de entrada ($n=0,1,2,\dots,N-1$).

Se logra así la separación del exponente complejo en sus partes real e imaginaria. El valor N es importante en este caso, ya que nos indica cuántas muestras de entrada son necesarias, la resolución de los resultados en el dominio de la frecuencia, y la cantidad de tiempo de procesamiento necesario para realizar la DFT.

Cada término $X(m)$ es la suma del producto punto a punto entre los valores de una señal de entrada y un senoide complejo de la forma $\cos(\phi) \pm j\sin(\phi)$. Las frecuencias exactas de los diferentes sinusoides dependen de la frecuencia de muestreo f_s y el número de muestras N . Por ejemplo, dada una frecuencia de muestreo de 5,500 muestras por segundo, al realizar una DFT de 4096 muestras, la frecuencia fundamental de los sinusoides está dada por:

$$\frac{f_s}{N}$$

Así, en el espectro de amplitudes se obtendrá un valor de amplitud para cada múltiplo entero de este valor. En el ejemplo anterior, la frecuencia fundamental es de 1.34 Hz. Los siguientes resultados de $X(m)$ son múltiplos de esta frecuencia fundamental, es decir 0 Hz, 1.34 Hz, 2.68 Hz, 4.02 Hz, etc. La información obtenida en $X(0)$ indica la magnitud de cualquier componente de 0 Hz (DC) contenida en la señal de entrada, $X(1)$ especifica la magnitud de cualquier componente a 1.34 Hz en la señal de entrada, etc.

C. Propiedades de la DFT

1. La secuencia de tipo de entrada para la DFT que generalmente se presenta es de tipo real. Dado que la transformada discreta recibe como secuencia de entrada una secuencia de números complejos, la parte real de éstos coincidirá con la secuencia que se pretende transformar, mientras que la parte imaginaria de todos ellos será igual a cero.

En este caso, los datos obtenidos para $m \geq N/2$ son redundantes. Esta característica puede apreciarse al analizar la forma exponencial de la DFT. Si se sustituye m por $N-m$, se obtiene la expresión de la DFT para el $(N-m)$ componente frecuencial:

$$X(N-m) = \sum_{n=0}^{N-1} x(n) e^{-j2\pi n(N-m)/N} = \sum_{n=0}^{N-1} x(n) e^{-j2\pi nN/N} e^{-j2\pi n(-m)/N} = \sum_{n=0}^{N-1} x(n) e^{-j2\pi n} e^{j2\pi nm/N}$$

Como $e^{-j2\pi n} = \cos(2\pi n) - j\sin(2\pi n) = 1$ para todos los valores enteros de n , se obtiene

$$X(N-m) = \sum_{n=0}^{N-1} x(n) e^{j2\pi nm/N}$$

Es evidente que $X(N-m)$ es igual a $X(m)$ con el signo revertido en el exponente de $X(m)$. Esta es la definición del complejo conjugado.

Otra propiedad de simetría de la DFT es que si la función real de entrada $x(n)$ es par, entonces $X(m)$ será siempre real y par. Si la función real de entrada $x(n)$ es impar, entonces $X(m)$ será siempre imaginaria e impar.

2. Una de las propiedades más importantes de la DFT es su linealidad. Ésta establece que: La DFT de una suma de dos señales es equivalente a la suma de la DFT de ambas señales por separado. Sin esta propiedad, la DFT sería inútil debido a que sólo permitiría analizar señales de entrada que contengan una sola senoidal, restringiendo drásticamente su aplicabilidad.

D. Teorema de Muestreo y *Aliasing*

En las situaciones más comunes, la función $h(t)$ está muestreada a intervalos iguales de tiempo.

Considerando a Δ como el intervalo de tiempo entre muestras consecutivas, el recíproco de Δ es llamado frecuencia de muestreo. Para cualquier intervalo de muestreo

Existe una frecuencia especial f_c , llamada la frecuencia crítica de Nyquist, la cual está descrita por:

$$f_c = \frac{1}{2\Delta}$$

El muestreo crítico de una función es dos puntos por ciclo. La frecuencia crítica de Nyquist es importante por dos razones principales. Si una función continua $h(t)$ muestreada a un intervalo Δ está limitada en ancho de banda a frecuencias menores a la frecuencia crítica de Nyquist, entonces $h(t)$ está descrita completamente por sus muestras. Si, por alguna razón, muestreamos una función continua que no está limitada por banda, toda la energía que está fuera del rango descrito por:

$$-f_c < f < f_c$$

se mueve en forma de espurios dentro de este rango. A este efecto se le conoce como *Aliasing*. Una vez ya se haya discretizado una señal, ya no se puede hacer nada para remover esta información. La manera de evitarlo es saber el ancho de banda natural de la señal, o forzar un límite por medio de un filtro análogo aplicado sobre la señal continua, para luego muestrear a una velocidad lo suficientemente rápida para poder obtener por lo menos dos puntos por ciclo de la frecuencia más alta presente.

E. Transformada rápida de Fourier (FFT por sus siglas en inglés):

Aunque la DFT es el procedimiento matemático directo para determinar el contenido frecuencial de una secuencia en el dominio del tiempo, es demasiado ineficiente al considerar el número de operaciones matemáticas involucradas en el algoritmo.

Conforme la cantidad de puntos a ser analizados por la DFT aumentan a cientos o miles, la cantidad de manipulación de números se vuelve excesiva. La DFT requiere de N^2 multiplicaciones complejas para poder realizarse.

En 1965 Cooley y Tukey describieron la existencia de un algoritmo muy eficiente para implementar la DFT. Este algoritmo se conoce como la FFT (Transformada rápida de Fourier). Aunque varios algoritmos de la FFT han sido desarrollados, el más popular de todos es el algoritmo *radix-2 FFT*. Este algoritmo es muy eficiente en realizar la DFT bajo la condición de que el tamaño de la DFT tiene que ser múltiplo de 2, es decir

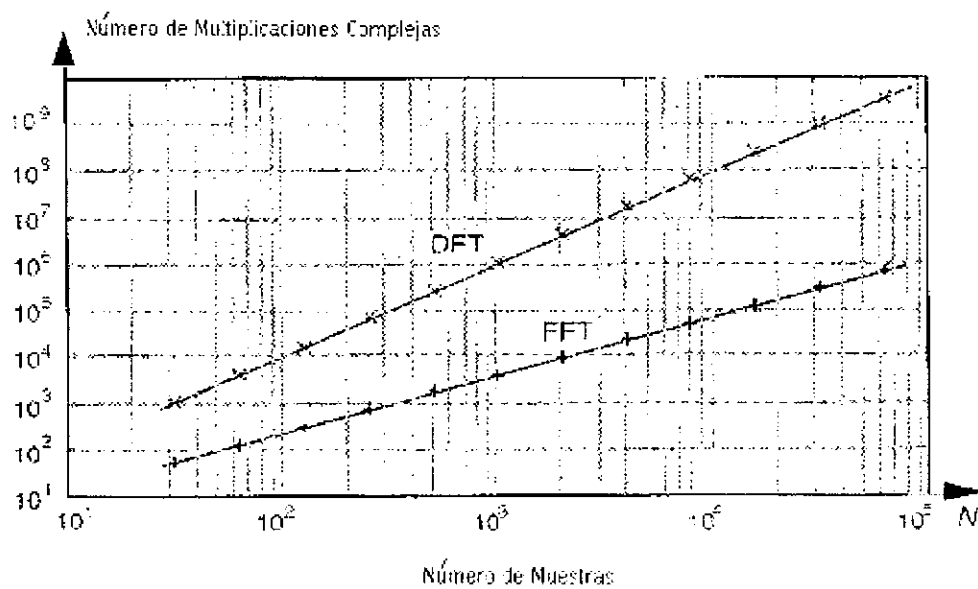
$$N = 2^k$$

donde k es un entero positivo. La cantidad de operaciones necesarias para realizar la FFT se calcula con la siguiente formula:

$$N \log_2 N$$

El cambio es sumamente significativo. Por ejemplo para $N = 10^6$, el tiempo de procesamiento en una computadora de microsegundo es más o menos 30 segundos para la FFT y 2 semanas para la DFT.

Figura No.2: Comparación de eficiencia entre DFT y FFT



(Lyons, 1997)

La figura anterior compara la eficiencia entre la determinación de la DFT utilizando su definición y utilizando el algoritmo de FFT. Nótese como mientras aumenta el número de muestras (N), el número de multiplicaciones complejas que se requieren para el cálculo de la DFT a través de su definición es considerablemente mayor (aproximadamente 10^3 veces para 10^5 muestras) que si se utilizara el algoritmo de FFT. Mientras mayor sea el número de muestras, más se evidencia la ventaja de utilizar los procedimientos de FFT.

En 1942 Danielson y Lanczos demostraron que una transformada discreta de Fourier de tamaño N puede ser rescrita como la suma de dos transformadas discretas de Fourier, cada una de largo N/2. Una de las dos esta formada por los puntos pares de N, mientras que la otra está formada por los puntos impares de N. Esto se conoce como el lema de Danielson-Lanczos.

$$F_k = \sum_{n=0}^{N-1} e^{2\pi j k n / N} f_n = \sum_{n=0}^{N/2-1} e^{2\pi j k (2n) / N} f_{2n} + \sum_{n=0}^{N/2-1} e^{2\pi j k (2n+1) / N} f_{2n+1}$$

$$F_k = \sum_{n=0}^{N/2-1} e^{2\pi j k n / (N/2)} f_{2n} + e^{2\pi j k / N} \sum_{n=0}^{N/2-1} e^{2\pi j k n / (N/2)} f_{2n+1}$$

donde k se extiende de 0 a N. La ventaja del teorema de Danielson-Lanczos es su recursividad. Esto quiere decir que es posible seguir subdividiendo la transformada en partes cada vez más pequeñas y por lo tanto más simples de operar. El patrón de este lema se puede mostrar en un diagrama, llamado diagrama de Mariposa.

Figura No.3 Diagrama de mariposa, FFT de ocho puntos.

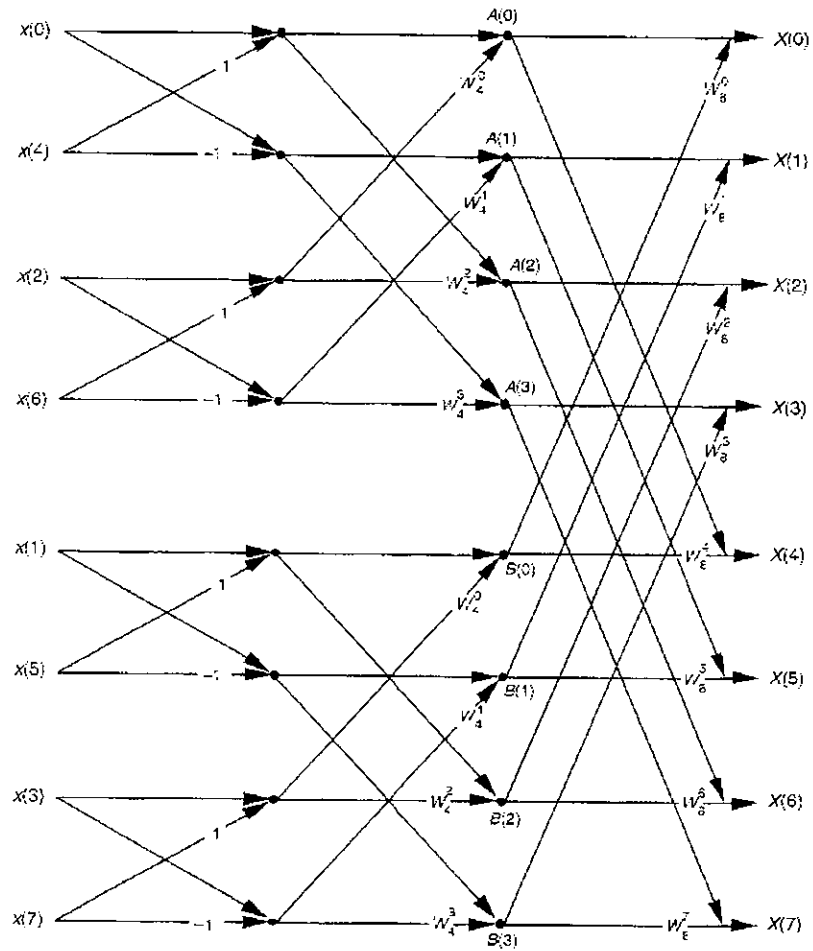


Diagrama de Mariposa para una FFT de 8 puntos

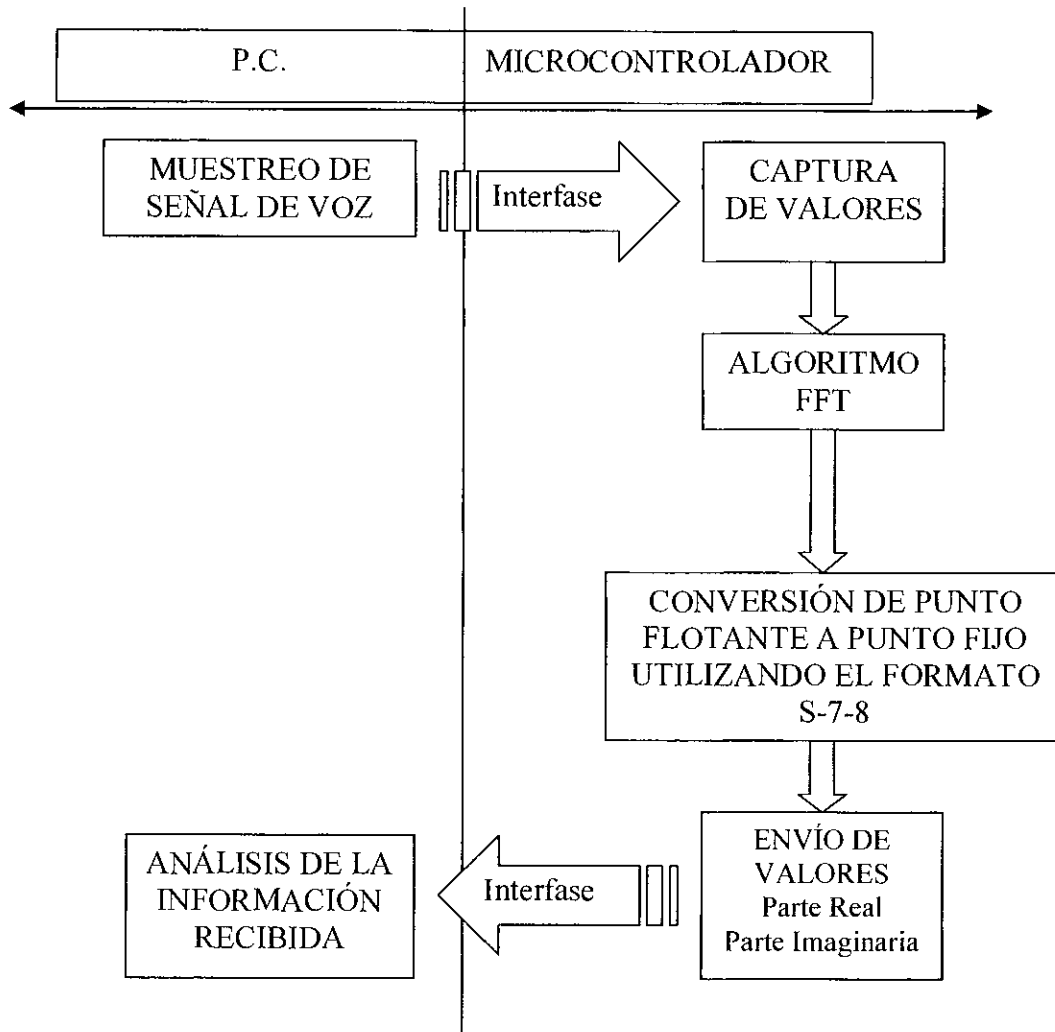
(Lyons, 1997)

V. METODOLOGÍA

Como se discutió con anterioridad, el algoritmo implementado puede tener diversas aplicaciones, según el uso que se pretenda dar a los resultados de la transformada de Fourier. En este caso, la herramienta desarrollada funciona como soporte en un proyecto de reconocimiento de voz desarrollado en forma paralela (mismo que se fundamenta en la información espectral de una señal de voz previamente muestreada). El sistema implementado se muestra en el siguiente diagrama:

Figura No.4

Esquema general de integración del proyecto:



Antes de definir el problema de la representación de números en el microcontrolador, es necesario definir los siguientes términos: Punto Flotante y Punto Fijo. La principal diferencia, y por lo tanto limitación del punto fijo en referencia con el punto flotante es su incapacidad de hacer que el punto “flote”, es decir que pueda moverse dinámicamente a lo largo de un número para poder mostrar más decimales o menos decimales conforme sea necesario para poder representar con mayor fidelidad un valor determinado. En un formato de punto fijo, se tiene definida la cantidad de dígitos que representan la parte entera y la parte decimal de un número. Por ejemplo, si se define cuatro bits para representar la parte entera, y ocho bits para representar la parte decimal, el resultado de una operación como la siguiente

$$153/7 = 21.8571428571$$

tendrá el siguiente resultado en formato punto fijo:

$$5.85$$

Esto se debe a la incapacidad del punto decimal de moverse de su lugar, para acomodar una mayor cantidad de bits para representar el número entero.

Unas de las ventajas de los puntos fijos es que a diferencia del punto flotante, los cálculos se pueden realizar con mayor velocidad y requieren una cantidad menor de memoria de almacenamiento.

Al realizar la transformada de Fourier, se necesita de una gran cantidad de números que cuentan con decimales. Debido a que no es posible representar un número decimal en un microcontrolador, es necesario utilizar un formato de punto fijo que describa el número en forma binaria.

Debido a esta limitación es necesario escoger desde un principio la cantidad de valores binarios utilizados para representar los decimales y la cantidad de valores binarios utilizados para representar partes enteras de valores.

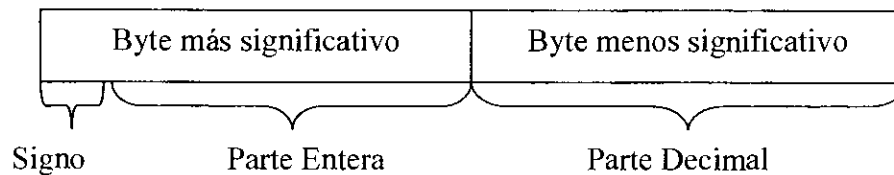
Debido a que todo el procedimiento está basado en 16 bits, el formato a utilizar por considerarse adecuado tiene la forma de

S-7-8

Donde S representa el signo, siete representa la cantidad de bits utilizados para la parte entera, y ocho representa la cantidad de bits usados para los decimales.

Figura No. 5

Esquema de posicionamiento de bits



Así, el séptimo bit del byte más significativo se utiliza para representar el signo (1= -, 0=+); del sexto bit hasta el bit cero, se utilizan para representar la parte entera del número. El byte menos significativo se utiliza enteramente para representar la parte decimal del número; así:

$$\text{Parte Decimal} = \text{bit } 7 * 2^{-1} + \text{bit } 6 * 2^{-2} + \dots + \text{bit } 0 * 2^{-7}$$

De esta forma, el máximo número decimal posible de representación es: 0.99 (equivalente a 0.99609375, con dos cifras significativas).

Como requisito por parte de la aplicación de reconocimiento de voz a la cual se está aplicando, se requiere del almacenamiento y procesamiento de 4096 muestras, cada una con una resolución de 8 bits (cada muestra ocupa un byte de memoria). Por esta razón, se debió implementar una memoria externa de tipo RAM (Random Access Memory), dada la

insuficiencia de memoria propia del microcontrolador para manejar este número de muestras. La memoria que se utilizó fue IS61C256AH de Integrated Silicon Solution Inc. la cual tiene capacidad para 32,768 bytes de RAM de alta velocidad.

La memoria seleccionada está diseñada para implementarse en conjunto con un microprocesador. Esto no resulta en un obstáculo, debido a la suficiente cantidad de puertos de entrada y salida del microcontrolador. Fue suficiente asignar dos puertos (uno de ocho y otro de cinco bits) para el manejo del bus de direcciones, y un puerto (de ocho bits) para el manejo del bus de datos (Ver Anexo C).

La principal desventaja de utilizar una memoria externa, es la cantidad de puertos del microcontrolador que tienen que ser asignados para manejar el control del bus de direcciones y el bus de datos del circuito integrado. Esto requiere un manejo más complejo de la información que entra y sale del microcontrolador, ya que para que el proceso sea más eficiente, todas las rutinas de manejo de información se tienen que poder aplicar en todos los casos que se requiera leer o transmitir algo a la memoria externa. Otra desventaja que se presenta es la cantidad terminales que tienen que ser interconectadas entre el microcontrolador y la memoria, haciendo más fácil cometer un error a la hora de conectar todo.

A. Consideraciones de la interfase de comunicación

Actualmente existen diversos tipos de protocolos de comunicación para lograr el intercambio de información con una computadora personal. Las diferencias entre uno y otro son principalmente sus velocidades de transmisión y la cantidad de conductores que caracterizan las respectivas capas físicas de la arquitectura. El siguiente cuadro resume las principales características de las opciones de interfase consideradas para este proyecto.

Cuadro No.1
Opciones para interfase

INTERFASE	Máxima Velocidad de Transmisión (bits/seg)	Número de Conductores, (capa física)	Disponibilidad en Microcontroladores	Comunicación Síncrona o Asíncrona
SERIAL RS-232	115,200 bps*	3	Sí	Síncrona y Asíncrona
PARALELO IEEE-1284	50 a 100 KBytes/seg.	10	No	Síncrona
USB Low Speed	1.5 Mbps	4	No	Síncrona
Ethernet 100 Base T	100 Mbps.	8	No	Síncrona

* Velocidad limitada por puerto serial de computadora y no por capacidad del microcontrolador, que tiene capacidad de transmisión de hasta 1.5 Mbps.

A pesar que la mayoría de interfases no se encuentran incorporadas en los microcontroladores disponibles en el mercado, es posible implementar las interfases de forma externa. Sin embargo, dada la naturaleza experimental de este desarrollo, fue necesario elegir como interfase de transmisión el protocolo RS-232, ya que al implementar una memoria RAM adicional (por el requisito de procesamiento de la FFT, 4096 muestras) se utilizan la mayor parte de los puertos de entrada y salida para el manejo de los buses de datos y direcciones, imposibilitando la implementación de una interfase externa de cualquiera de los tipos mencionados en el Cuadro No.1.

Para el cumplimiento de todos los requerimientos necesarios, se utilizó un microcontrolador de Microchip PIC18C452. Se utilizó este microcontrolador debido a su alta velocidad (40 MHz), la posibilidad de emular su funcionamiento utilizando una computadora personal, el amplio set de instrucciones y la capacidad de realizar una multiplicación de dos bytes en *hardware* utilizando únicamente un ciclo de reloj. Realizar una multiplicación en un microcontrolador utiliza una gran cantidad de tiempo si no está implementada en *hardware* ya que es necesario escribir el código para el manejo de la multiplicación, y ésta utiliza varios ciclos de reloj. Esta última característica resulta necesaria para los propósitos del algoritmo de la FFT, dada su estructura.

El cuadro siguiente muestra una comparación entre los diferentes dispositivos Microchip considerados para esta aplicación.

Cuadro No.2
Comparación de dispositivos Microchip considerados.

Características	PIC18C242	PIC17C44
Frecuencia de operación (MHz)	40	33
Memoria de programa (KBytes)	32	8
Memoria de datos (Bytes)	1536	454
Interruptos	17	11
Puertos de entrada/salida	5	5
Temporizadores	4	4
PWM	4	2
Comunicación serial	Sí	Sí
Puerto paralelo esclavo	Sí	No
Convertidores análogo digital	8	0
Número de instrucciones	75	58

De las observaciones del cuadro anterior, y tomando en consideración la posibilidad de simulación disponible, se optó por el PIC18C242. Se restringió la selección a estas dos

posibilidades porque son los únicos microcontroladores PIC disponibles que implementan la multiplicación en *hardware*.

B. Descripción del algoritmo FFT

El algoritmo se muestra en el siguiente diagrama de flujo.

Figura No. 6
Diagrama de flujo de la FFT

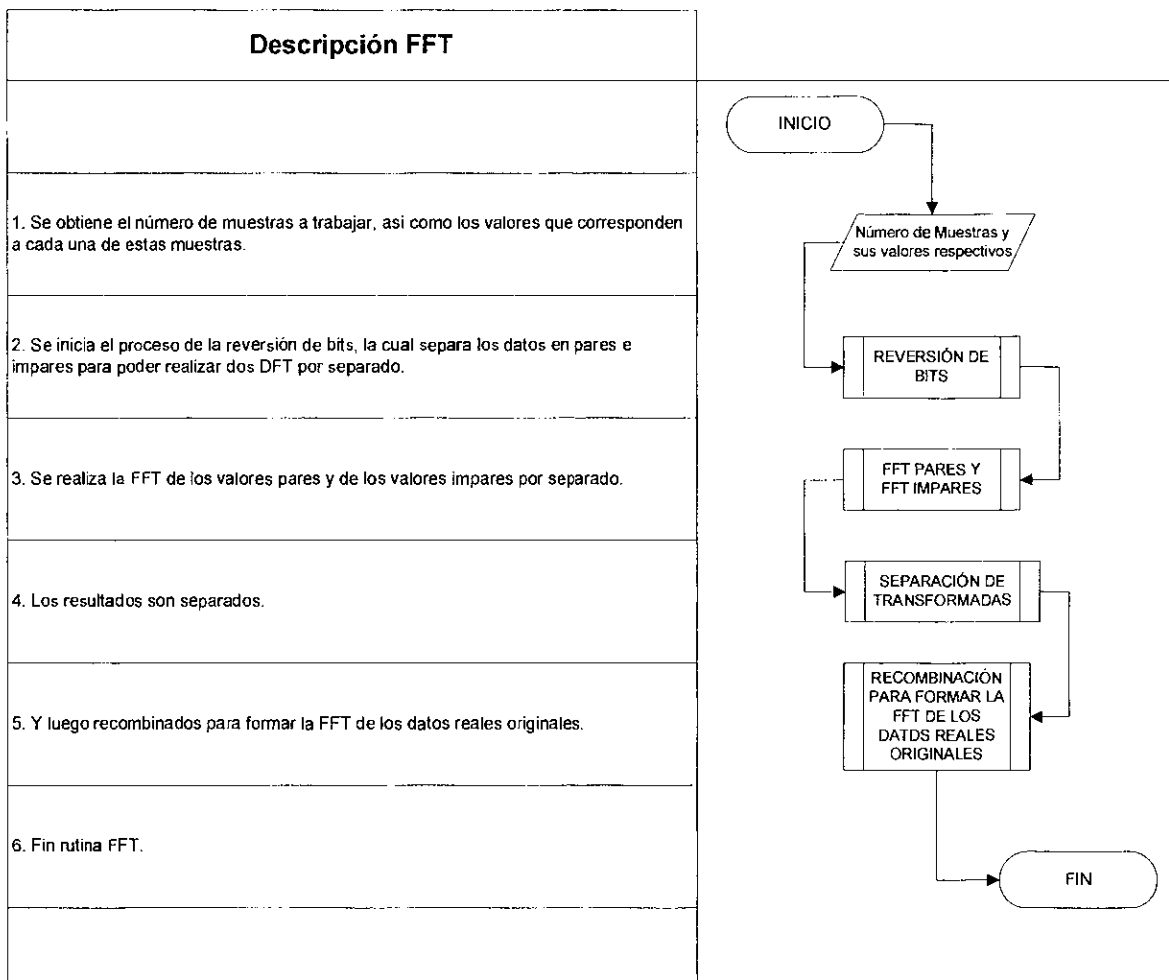
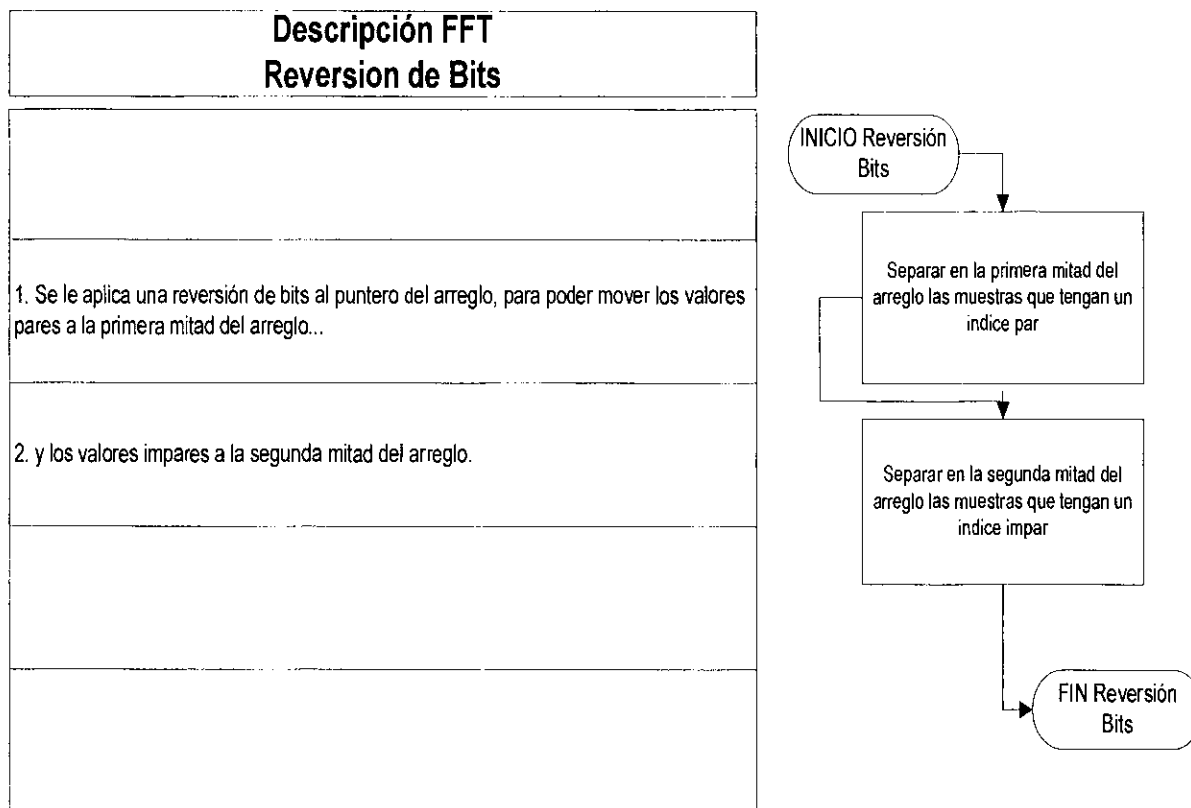
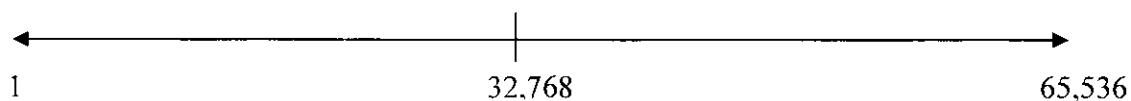


Figura No. 7
Procedimiento de reversión de bits

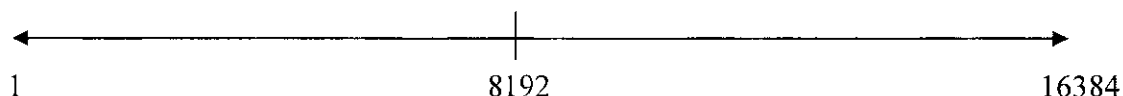


La primera parte del algoritmo constituye una fase de normalización de datos. Los datos enviados desde la computadora por interfase serial vienen codificados en un byte, que son el resultado de una conversión análogo-digital realizada por la tarjeta de sonido de la computadora. Dado que el microcontrolador asigna en memoria 2 bytes para cada muestra, se asigna el valor recibido a la parte alta, mientras que a la parte baja se le asigna cero. Es necesario normalizar estos valores (ubicarlos en una escala de -1 a 1 según el formato de punto fijo) para evitar que los resultados de la transformada sean números muy grandes, cuya representación binaria exceda el número de bits previsto por el formato de punto fijo.

Al inicio, todas las muestras obtenidas se ubican a lo largo de la siguiente escala numérica:



Cada valor se divide entre 4, de tal forma que las muestras se ubican ahora en la escala:



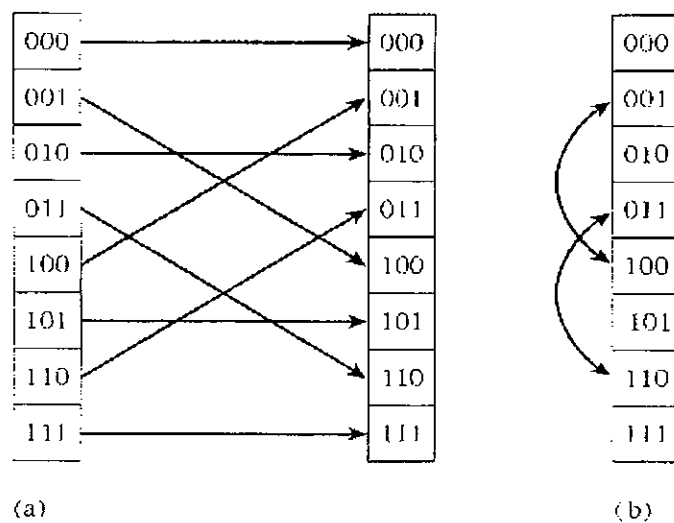
En este punto, se resta 8192 a cada número, para el caso de números menores a 8192, se invierte el orden de la resta, asignando un “1” lógico al bit 7 del byte más significativo (lo que significa que el resultado es negativo). El resultado es luego rotado 5 veces hacia la derecha (equivalente a dividir entre 32), con lo cual se ubican efectivamente todas las muestras entre -1 y 1, según el formato de punto fijo establecido (signo, 7 bits de parte entera y 8 bits de parte decimal).

Luego de la normalización, se realiza una parte fundamental de la FFT que es la reversión de bits (*bit reversal*). Esto se realiza para poder separar en números pares e impares el arreglo de datos de entrada a la FFT. La manera de trabajar la FFT es la siguiente:

Un arreglo de valores reales es separado en “pares” e “impares”. Los pares son tomados como la parte real de un número complejo, y los impares son tomados como la parte imaginaria de un número complejo.

En la figura 5(a) se puede observar cómo es el procedimiento para realizar la reversión de bits. En la figura 5(b) se observa cómo queda el arreglo de datos luego de realizar las operaciones que indican las flechas.

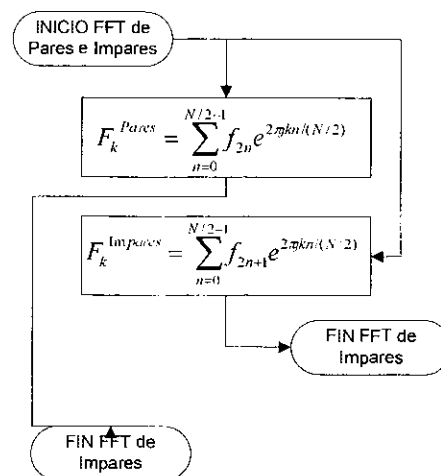
Figura No. 8 Diagrama de mariposa



Una vez se han separado los valores, se procede a realizar la FFT compleja sobre estos valores. Se aplica una FFT compleja a los valores pares, y una FFT compleja a los valores impares, tal como lo especifica el lema de Danielson-Lanczos:

Figura No. 9 Separación de pares e impares

Descripción FFT Pares e Impares
1. Se hace la FFT de los valores pares
2. Se hace la FFT de los valores impares
3. El resultado de la FFT de pares queda en la primera parte del arreglo
4. El resultado de la FFT de impares queda en la segunda parte del arreglo



Como se puede ver del lema de Danielson-Lanczos, se aplica por separado la DFT a la serie de números pares y a la serie de números impares, ya que según el lema, la DFT de un arreglo de tamaño N puede ser rescrita como la suma de dos DFT, cada una de largo $N/2$.

Recuérdese que

$$e^{\pm j\phi} = \cos(\phi) \pm j\sin(\phi)$$

por lo que deben encontrarse los valores de los senos y cosenos. Estos se calculan por medio de un algoritmo de recursión, lo que es posible gracias a que sus argumentos forman una secuencia lineal. Así:

$$\cos(\theta + \delta) = \cos(\theta) - [\alpha \cos \theta + \beta \sin \theta]$$

$$\sin(\theta + \delta) = \sin(\theta) - [\alpha \sin \theta - \beta \cos \theta]$$

donde α y β corresponden a los coeficientes descritos por

$$\alpha = 2 \sin^2\left(\frac{\delta}{2}\right) \text{ y } \beta = \sin \delta$$

donde $\alpha = \text{alfa}$, $\beta = \text{beta}$, $\delta = \text{delta}$.

Al hacer la analogía de estas recurrencias en el código de abajo, se observa que:

$$wr = \cos(\theta + \delta) = \cos(\theta) - [\alpha \cos \theta + \beta \sin \theta]$$

$$wi = \sin(\theta + \delta) = \sin(\theta) - [\alpha \sin \theta - \beta \cos \theta]$$

$$wpr = \alpha$$

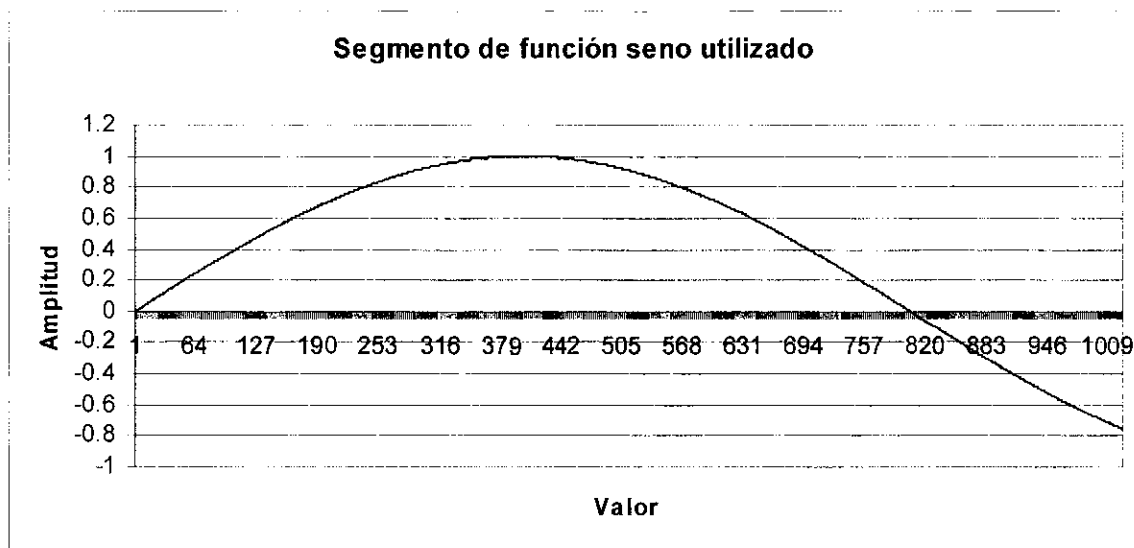
$$wpi = \beta$$

Para poder simular una función de seno en el microcontrolador, se utilizan tablas. La razón por la que se utilizan tablas y no un método de aproximación numérica es debido a la

rapidez de un microcontrolador en solamente buscar los valores en una tabla, en lugar de realizar complicadas operaciones aritméticas que toman varios ciclos de reloj en ser ejecutadas.

El segmento de la función seno utilizada es la siguiente:

Figura No. 10 Segmento del seno utilizado



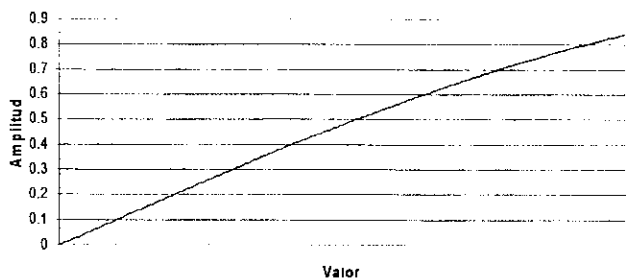
No es necesario incluir la función completa del seno, ya que el máximo valor que necesitará el seno es a π (Π). Los siguientes valores a los que será necesario calcularles el seno tendrán un valor menor a éste. Esto nos ahorra espacio en el microcontrolador. Para lograr una mayor resolución con los valores del seno, se separa la función arriba descrita en cuatro partes. Cada gráfica abajo mostrada describe una parte del seno. La primera tabla describe el seno en los valores que abarcan de 0 a 0.99. La segunda tabla describe los valores que van de 1 a 1.99, la tercera describe los valores que van de 2 a 2.99 y la cuarta describe valores que van de 3 a 3.99.

Cada rango contiene 256 valores, sumando un total de 1024 valores para describir toda la función del seno a ser utilizada. Estos rangos se ubican en tablas diferentes, donde cada

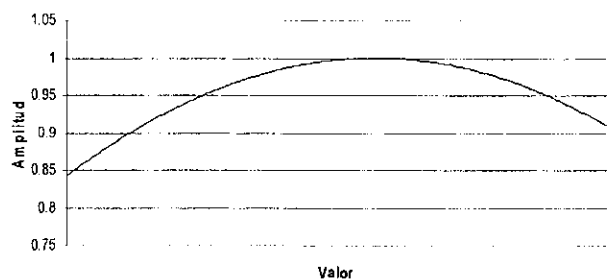
valor utiliza dos posiciones de memoria (16 bits) para acoplarse al sistema de punto fijo utilizado de S-7-8.

Figura No.11 Separación en cuatro partes de la función seno

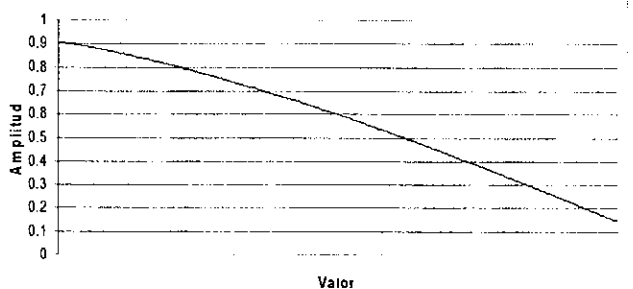
Primer Tabla, Función Seno



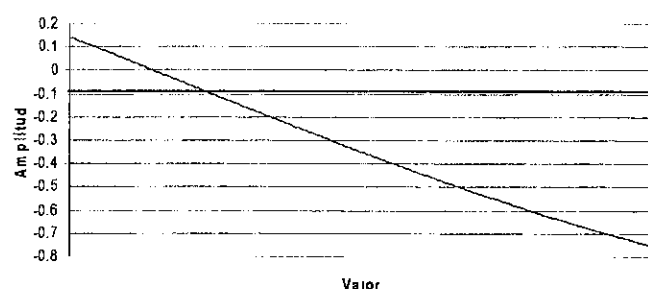
Segunda Tabla, Función Seno



Tercer Tabla, Función Seno



Cuarta Tabla, Función Seno



Luego de tener por separado las transformadas de los pares y de los impares, es necesario separar ambas transformadas para luego recombinarlas de la manera correcta. Para poder separar estas transformadas, se utiliza la propiedad de la simetría de la transformada.

Si la información de entrada a la transformada es real, los componentes de la transformada discreta de Fourier satisfacen:

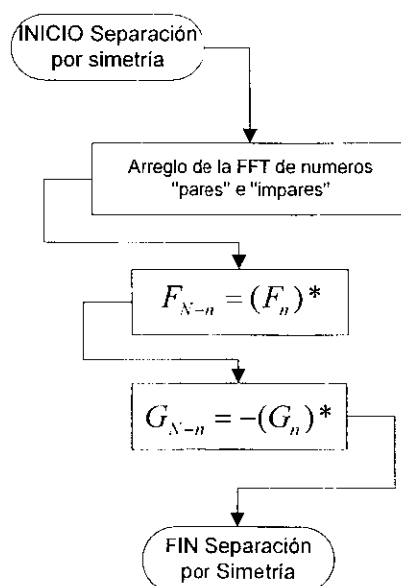
$$F_{N-n} = (F_n)^*$$

donde * denota al complejo conjugado. De la misma manera, la transformada discreta de Fourier de una entrada imaginaria tiene la simetría opuesta:

$$G_{N-n} = -(G_n)^*$$

Esto se observa en el siguiente diagrama de flujo:

Figura No. 12 Separación por simetría



La salida de la rutina anterior se puede expresar en forma matemática de la siguiente manera:

$$H_k = F_k^{Pares} + jF_k^{Im\ pares}$$

donde se sabe del lema de Danielson-Lanczos y la DFT que

$$F_k^{Pares} = \sum_{n=0}^{N/2-1} f_{2n} e^{2\pi jkn/(N/2)}$$

$$F_k^{\text{Im pares}} = \sum_{n=0}^{N/2-1} f_{2n+1} e^{2\pi jkn/(N/2)}$$

Donde k va de 0 a $N/2-1$. Para mostrar la transformada F_n del arreglo original de datos, se pueden ordenar las ecuaciones anteriores para mostrar que :

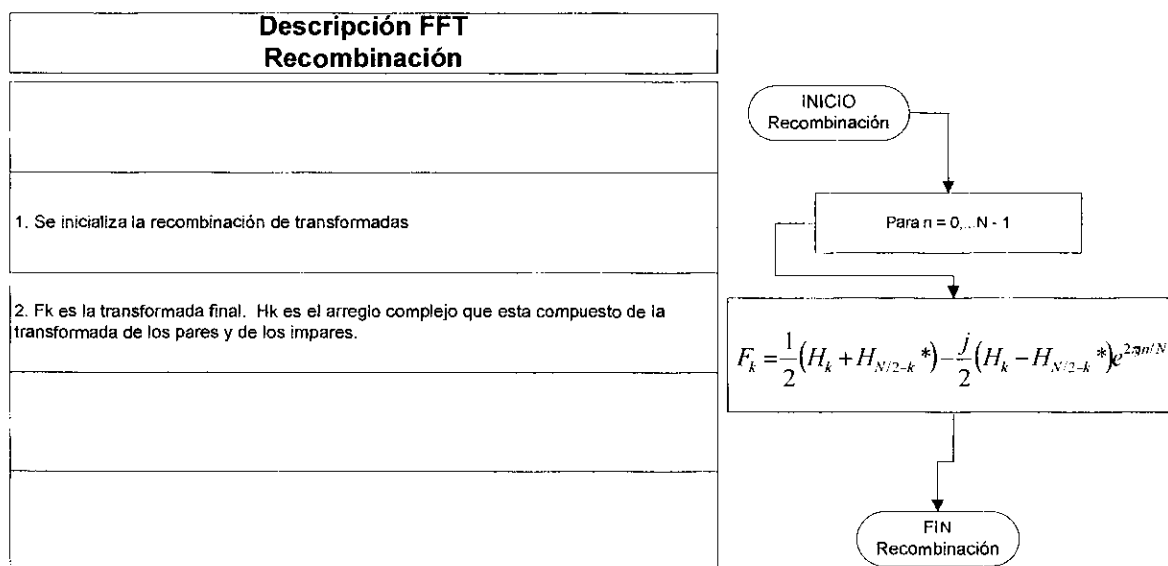
$$F_k = F_k^{\text{Pares}} + e^{2\pi jn/N} F_k^{\text{Im pares}} \quad n = 0, 1, 2, \dots, N-1$$

Si se expresa esto en términos de la transformada H_n de los datos reales (que se hacen pasar por complejos), el resultado es:

$$F_k = \frac{1}{2}(H_k + H_{N/2-k}^*) - \frac{j}{2}(H_k - H_{N/2-k}^*) e^{2\pi jn/N}$$

Debido a que $F_{N-k}^* = F_k$, no se necesita guardar el espectro entero (simetría de la DFT). El lado positivo de las frecuencias es suficiente y puede ser guardado en el mismo arreglo en el que estaban guardados los datos originales. Sin embargo, se necesitan los valores H_k , $k = 0, 1, 2, \dots, N/2$, y la rutina anterior nos da valores hasta $N/2-1$. Debido a la simetría, se puede tomar el valor de $H_{k/2} = H_0$.

Figura No. 13 Recombinación de transformadas



Los resultados obtenidos son enviados a la computadora personal en un formato de 16 bits llamado S-7-8. El primer bit indica el signo del número, los siguientes siete bits indican el valor de la parte entera del número, y los últimos ocho bits indican los decimales del número.

El tiempo promedio de ejecución de la rutina en el microcontrolador, tomando en cuenta la recepción y envío de datos por medio de la interfase serial a 115200 bps es de aproximadamente 3.5 segundos.

Nota sobre el Código del Microcontrolador:

El código en Assembler es una traducción del código en C++. Para poder hacer el traslado de lenguajes, se utilizó una implementación de rutinas de punto fijo hechas por Robert Lacoste. Dado que las rutinas proporcionadas por Robert Lacoste están diseñadas para manejar solamente 256 muestras, fue necesario adaptarlas para acomodar el procesamiento de un mayor número de muestras, específicamente 4096 muestras.

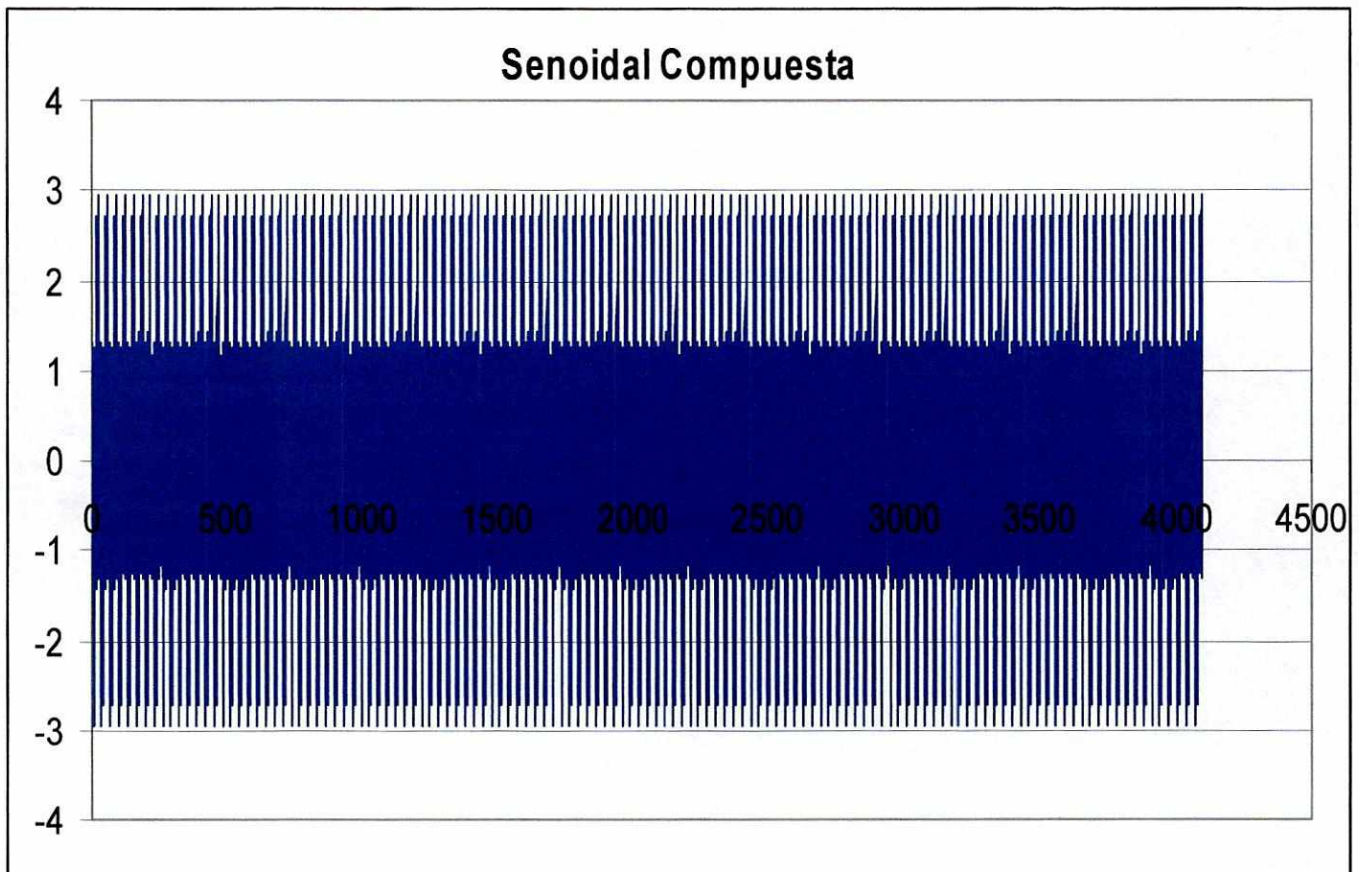
El PIC se mantiene en un ciclo infinito, esperando a que un interrupto del puerto serial lo saque del ciclo para poder cargar los datos en la RAM externa. Una vez tiene todos los datos guardados en RAM, empieza la rutina de la FFT. La primera parte realiza la FFT compleja, y la segunda parte encuentra la verdadera FFT a partir de las dos transformadas que nos da el código anterior. Estos valores de la FFT sobrescriben los valores originales de las muestras.

El código implementado, así como el diagrama del circuito se incluye en la sección de anexos, debidamente comentado para facilidad de lectura y entendimiento.

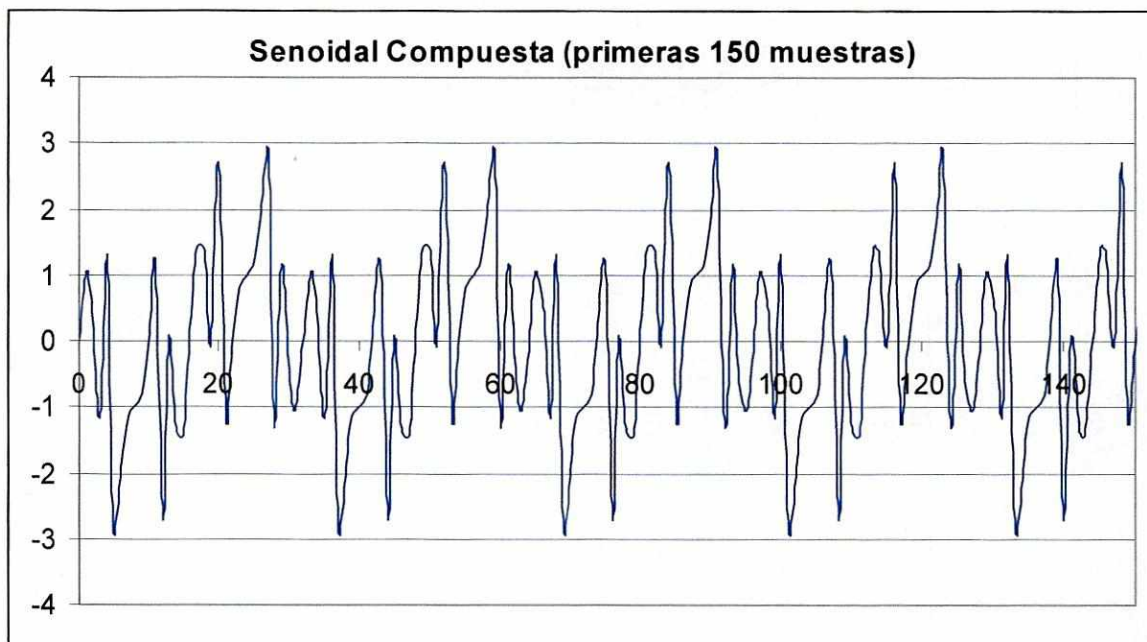
VI. ANÁLISIS Y PRESENTACIÓN DE RESULTADOS

Se comienza por analizar los resultados obtenidos mediante la aplicación de la herramienta de cálculo de FFT a una señal construida. Esta señal está constituida por cuatro señales senoidales de amplitud unitaria y con frecuencias de 200, 300, 1000 y 2000 Hz respectivamente. Se utilizó una frecuencia de muestreo de 4kHz, escogida de acuerdo a los principios del teorema de muestreo, obteniendo exactamente 4096 muestras. La señal enviada al microcontrolador se muestra en la gráfica No.1.

Gráfica No.1 (a)

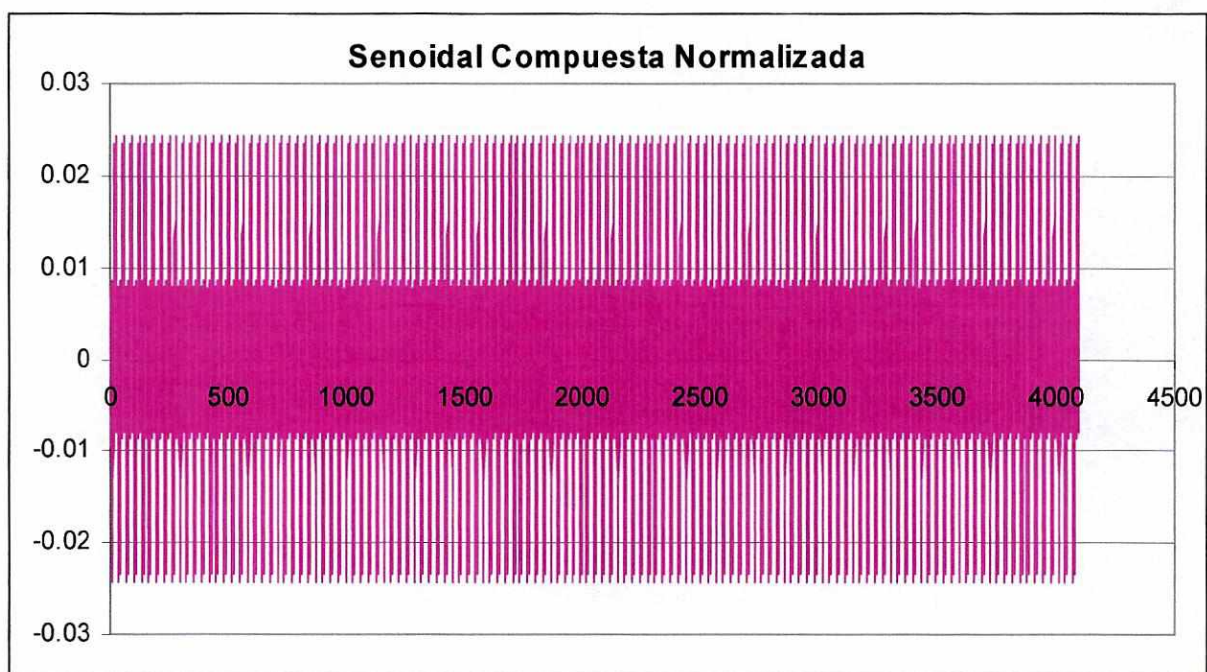


Gráfica No.1 (b)

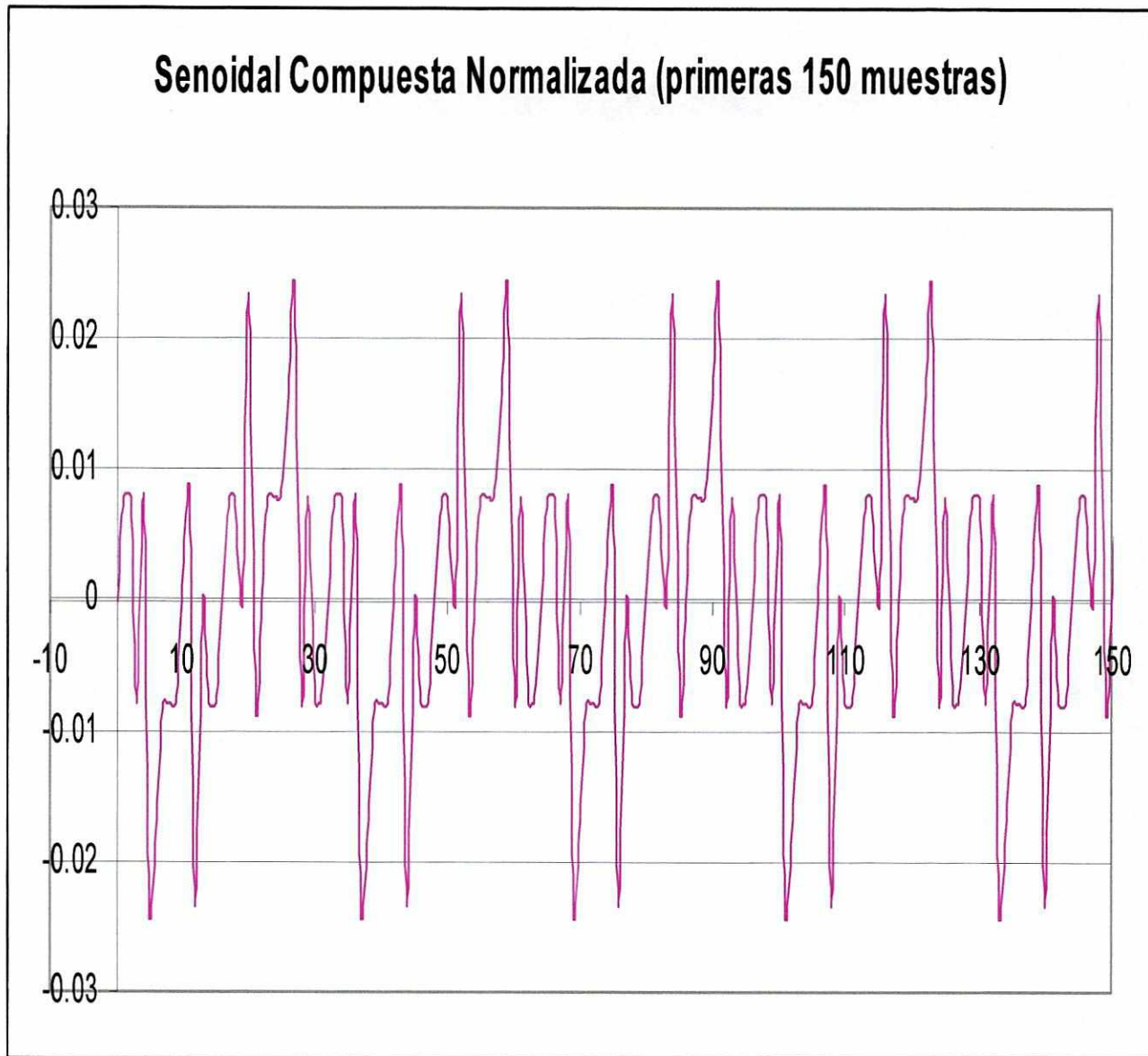


Estas muestras son sometidas al proceso de normalización descrito con anterioridad. El resultado se muestra en la siguiente gráfica:

Gráfica No.2 (a)

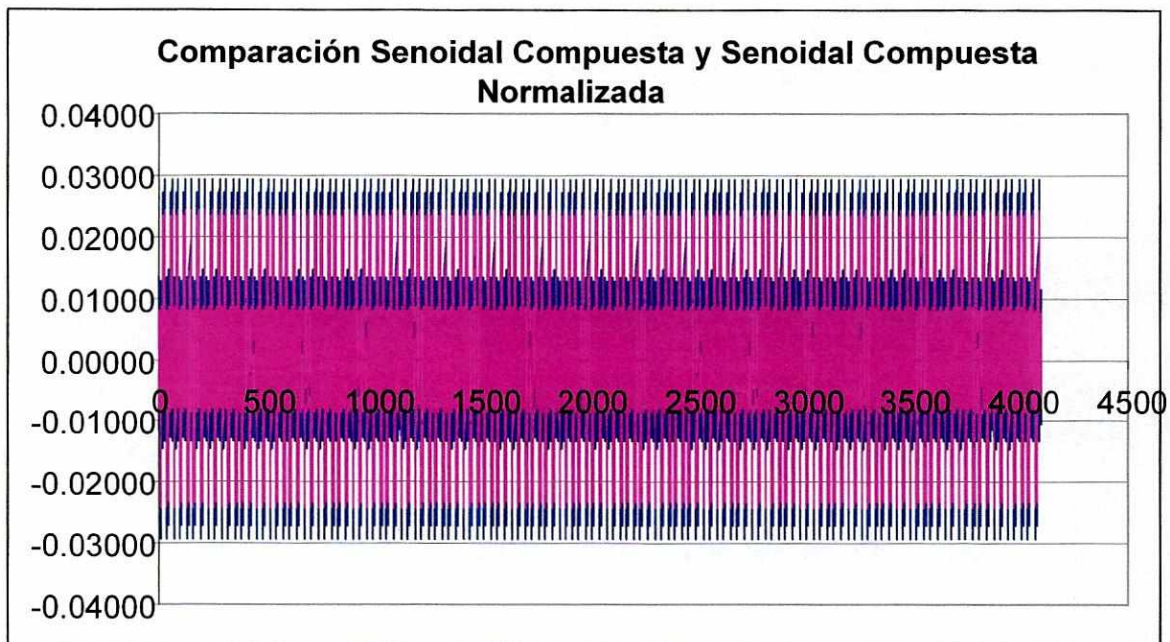


Gráfica No.2 (b)

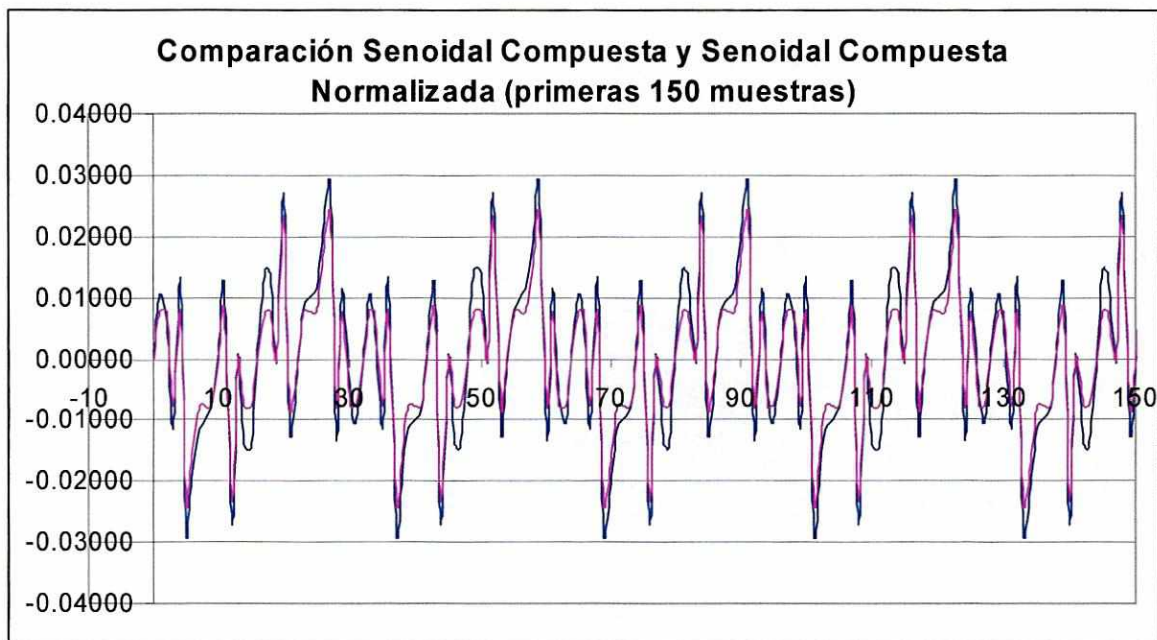


Las siguientes gráficas muestran una comparación entre la función senoidal y la función senoidal compuesta normalizada por el microcontrolador (comparación entre gráficas completas y en acercamiento). Nótese que la variación entre ambas no es únicamente de amplitud, sino que se presentan variaciones en la forma de la gráfica. Estas variaciones ocasionan la aparición de componentes frecuenciales errados, como se discute en la presentación de las gráficas de espectros frecuenciales.

Gráfica No. 2 (c)

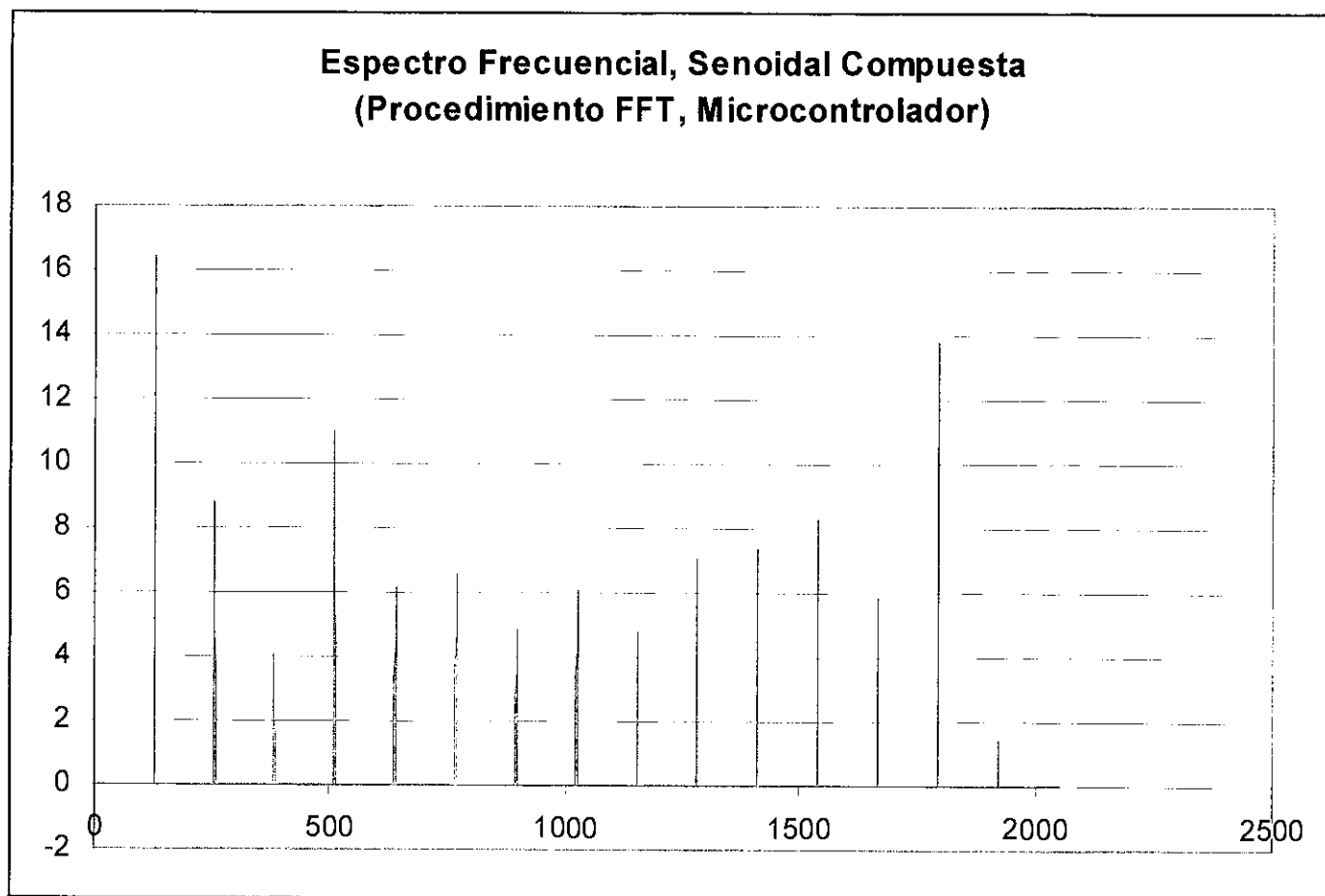


Gráfica No. 2 (d)



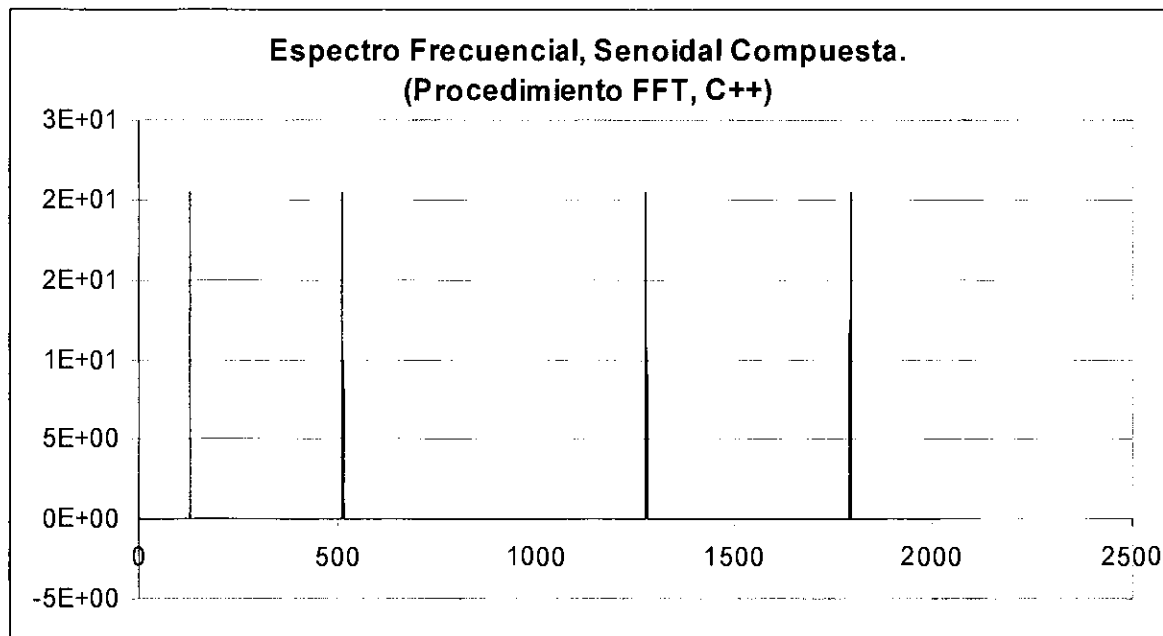
Una vez normalizados los datos, se aplica el algoritmo de transformada rápida de Fourier implementado en el microcontrolador. El espectro de amplitudes correspondiente se muestra en la siguiente gráfica.

Gráfica No.3



Para verificar el funcionamiento de la herramienta, se compararon sus resultados con una rutina equivalente desarrollada en el lenguaje de alto nivel C++, con la cual se obtuvieron los resultados mostrados en la gráfica siguiente.

Gráfica No.4

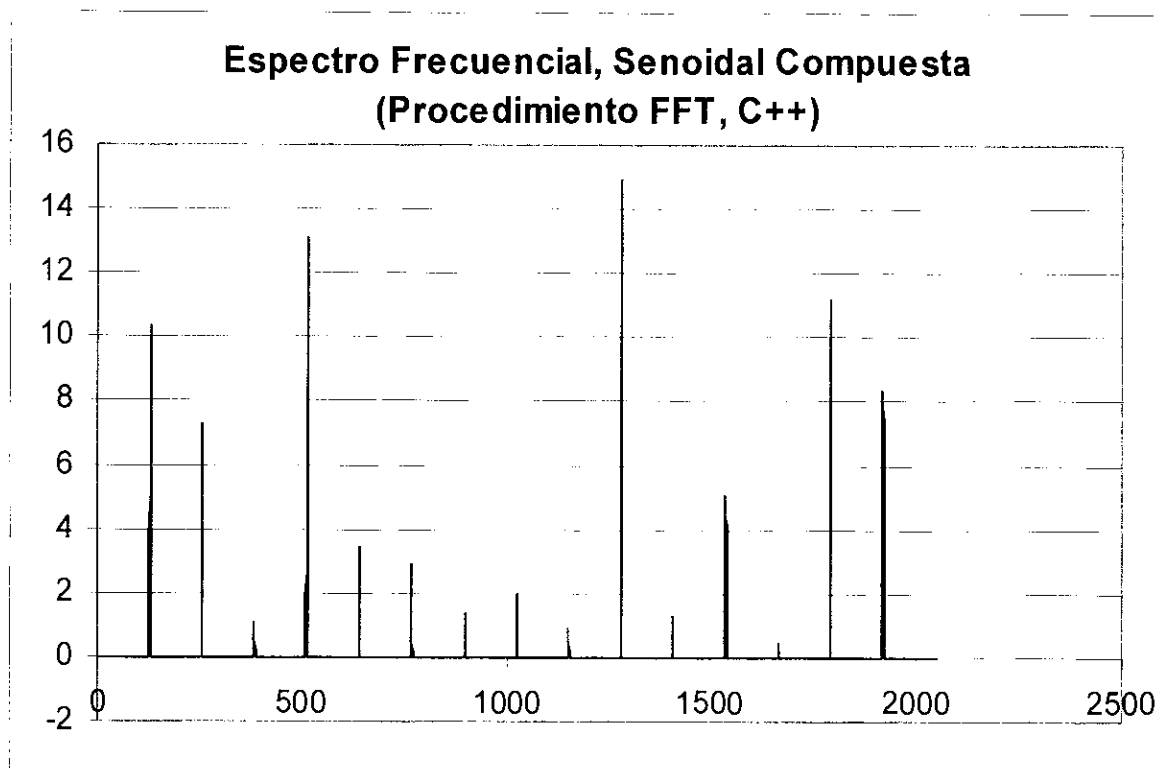


Puede observarse, de la comparación entre la gráfica 3 y 4, que los resultados obtenidos de la herramienta implementada en el PIC muestran los mismos componentes frecuenciales que los mostrados en la gráfica No.4. Sin embargo, aparecen también componentes frecuenciales de menor amplitud. La diferencia espectral entre ambas gráficas se atribuye a dos factores principales:

1. La rutina de normalización, la cual, como puede observarse en la gráfica 2, no preserva exactamente la forma de la señal original, debido a que la frecuencia de muestreo es exactamente el doble de la máxima frecuencia presente.
2. Los errores de aproximación generados al aplicar el algoritmo de transformada rápida de Fourier a muestras con el formato de punto fijo (restricción del número de decimales significativos).

Al analizar los resultados obtenidos en C++, pero utilizando como señal de entrada la función senoidal ya normalizada, se obtiene el siguiente resultado:

Gráfica No.5

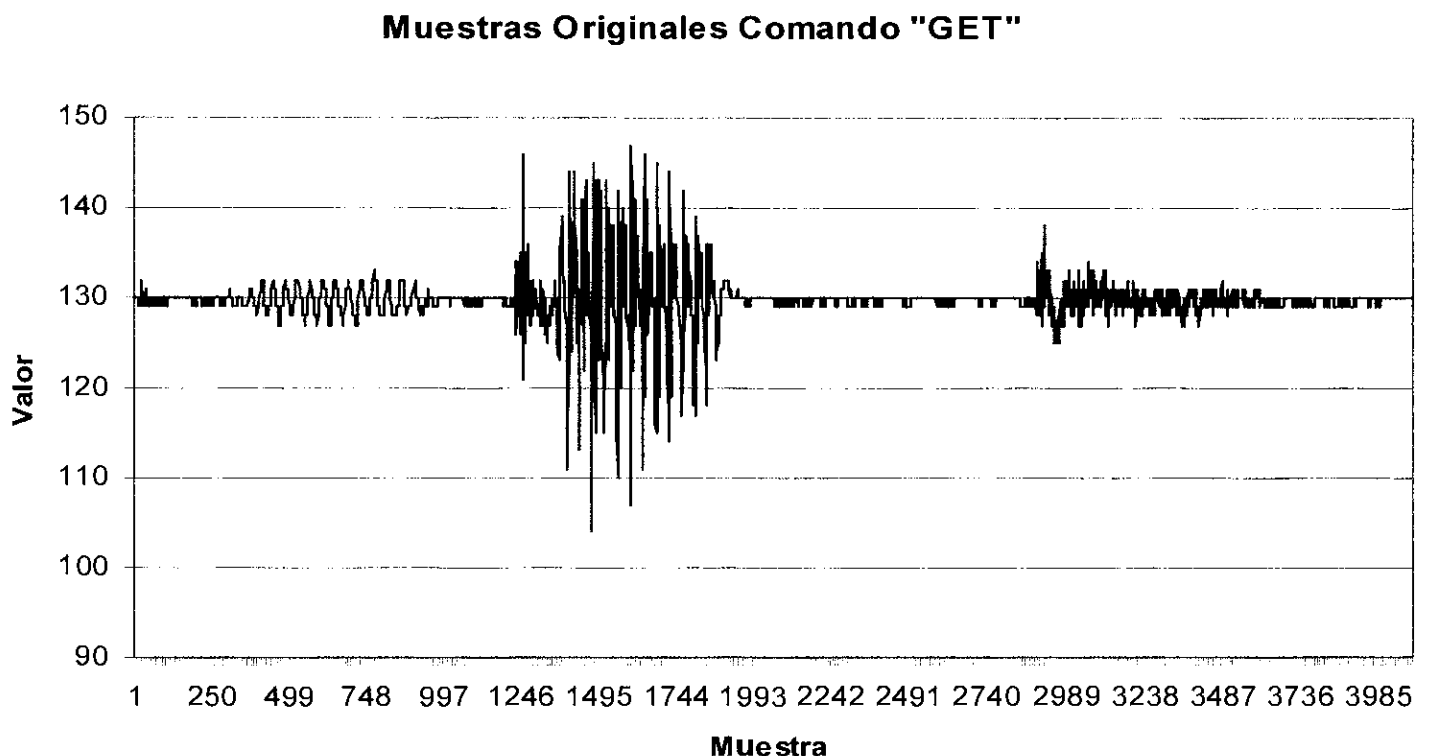


Nótese que la gráfica No.4 y la gráfica No.5 coinciden en cuanto al número de picos mostrados, con variaciones leves únicamente en las amplitudes de algunos de los componentes frecuenciales. De la comparación de estas gráficas se evidencia que el funcionamiento del algoritmo de la transformada rápida de Fourier implementado en el microcontrolador es comparable con el implementado en el lenguaje de alto nivel C++, y que las variaciones entre ambos se deben a errores de aproximación, ya que el procedimiento en C++ utiliza representación de punto flotante para cada número decimal, y no el formato de punto fijo implementado en el microcontrolador.

A continuación, se presentan gráficas comparativas de un comando de voz, capturado con la tarjeta de sonido y procesado tanto por el microcontrolador como por la rutina en software desarrollada en C++. Dadas las observaciones anteriores respecto a la normalización de los datos y la representación de punto fijo, las gráficas corresponden a la aplicación de los procedimientos a la señal de audio ya normalizada.

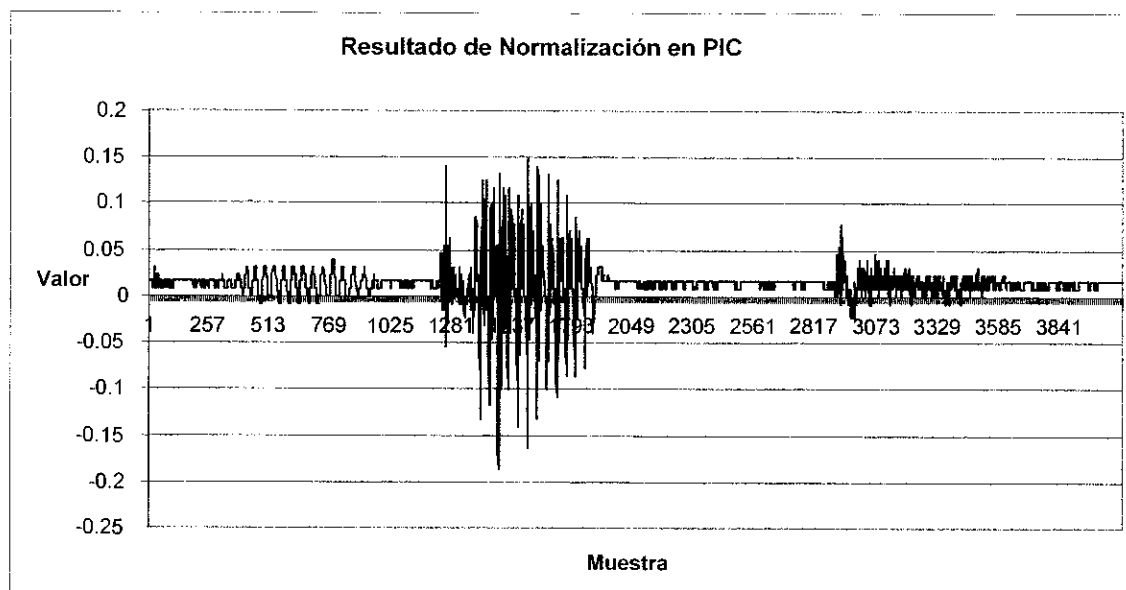
En la gráfica No. 6 se pueden observar las muestras originales del comando "GET" recabadas por la tarjeta de sonido. Estas son las muestras enviadas al microcontrolador, que luego se le aplica la normalización. La escala de valor (eje y) en la gráfica No. 6 corresponden al valor asignado por el convertidor análogo-digital de la tarjeta de sonido.

Gráfica No. 6



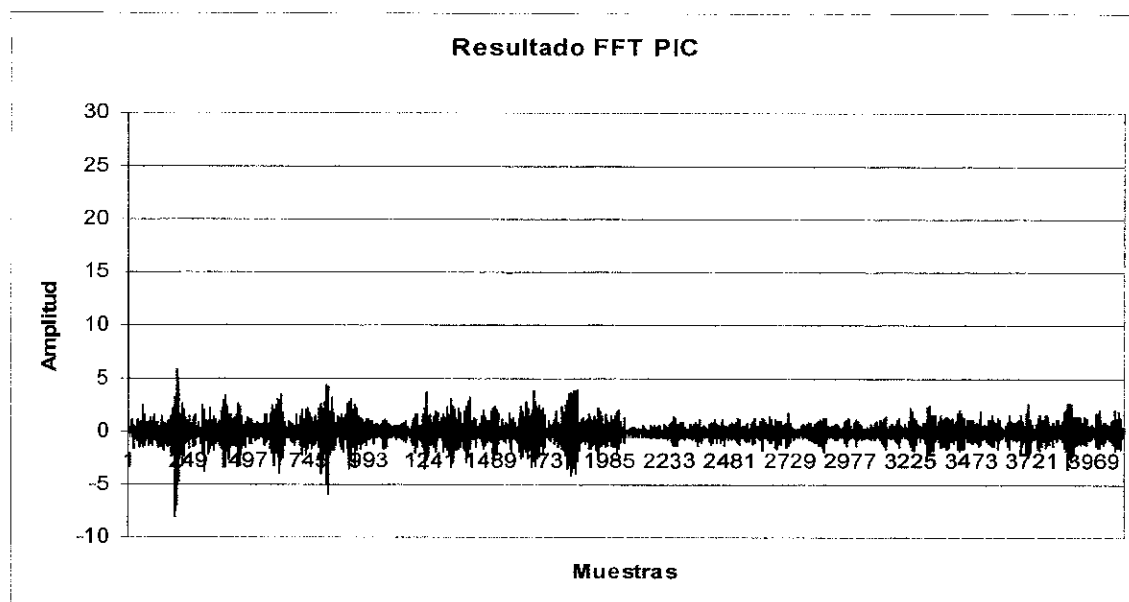
El resultado de la normalización realizada en el microcontrolador se puede apreciar en la gráfica No. 7. Se puede observar que la forma de la señal original, así como de la señal normalizada es parecida, con excepción de las escalas de amplitud, ya que la señal normalizada esta en un rango mucho menor que la señal original.

Gráfica No. 7



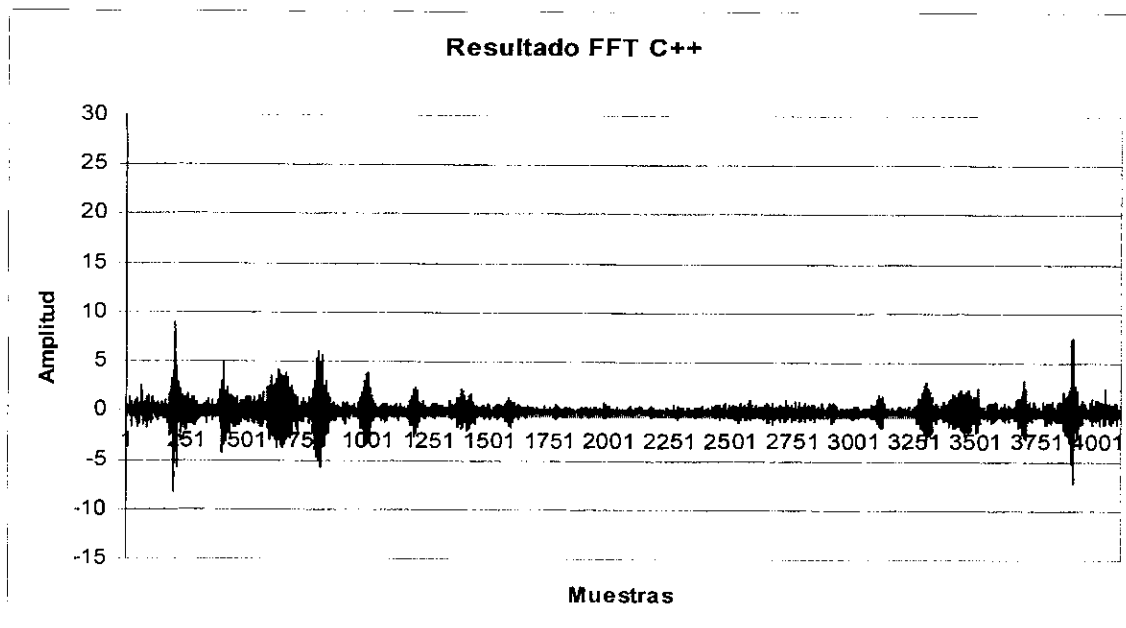
Luego se realizó el procedimiento de la FFT en el microcontrolador, pero sin el reordenamiento de los datos. Este resultado se muestra a continuación en la gráfica No.8:

Gráfica No. 8



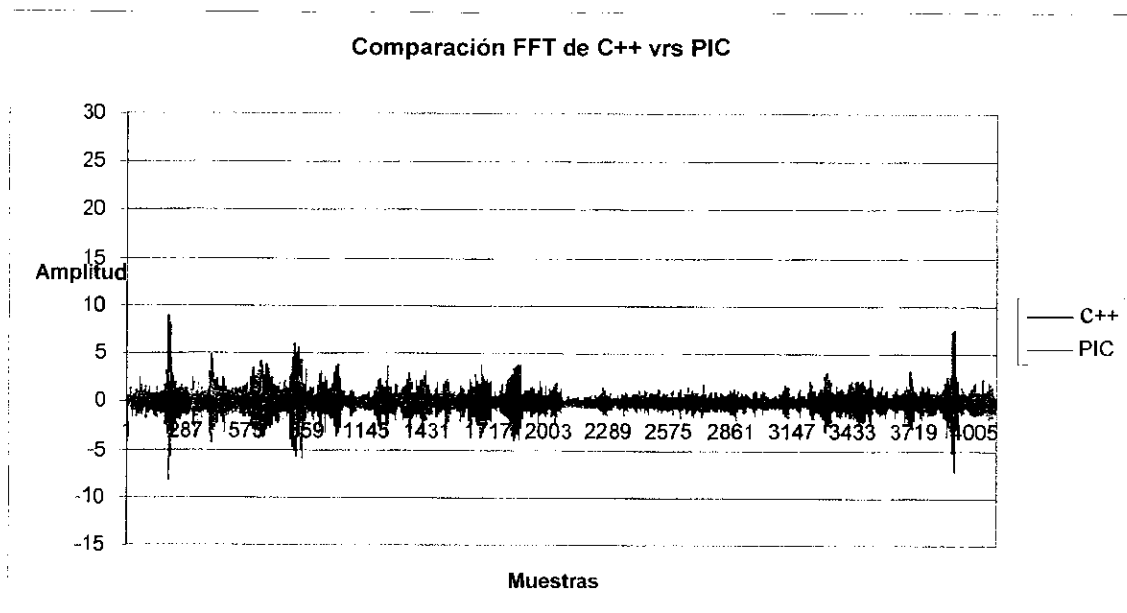
Para poder comparar resultados, se realizó la FFT en C++. Este resultado se observa en la gráfica No. 9.

Gráfica No. 9



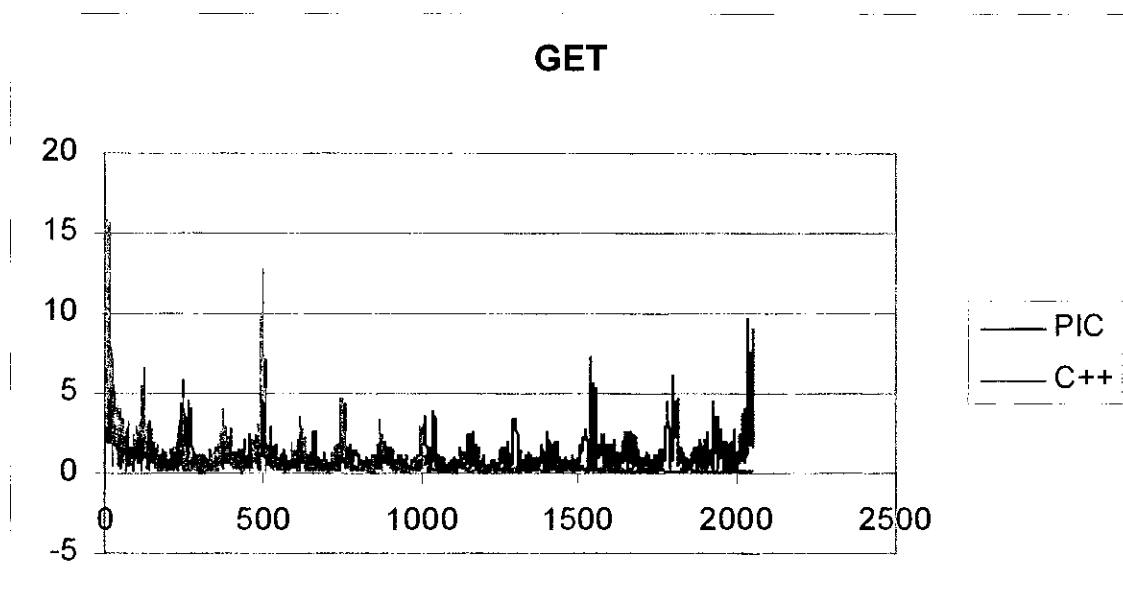
Al comparar ambos resultados, se observa que contienen los mismos componentes, pero con diferentes amplitudes y en algunos casos corridos. Esto se le atribuye a la falta de resolución para describir los números a cuenta del formato de punto fijo escogido.

Gráfica No. 10



El resultado final de todo el procedimiento de la FFT en el PIC así como en C++ se puede observar en la gráfica No. 11. Nótese que el resultado es muy parecido en la primera mitad de la gráfica. A partir de la mitad, el resultado del microcontrolador es significativamente diferente al procedimiento en C++. Debido al tipo de transformada que se utilizó, el espectro no se repite a partir de la mitad, por lo que los picos finales que no aparecen en la transformada de C++ pero si lo hacen en la transformada del PIC, se atribuyen a errores de aproximación.

Gráfica No. 11



VII. CONCLUSIONES

1. Es posible realizar un algoritmo de transformada rápida de Fourier en un microcontrolador.
2. Las necesidades de direccionamiento de la memoria externa utilizada reducen el número de puertos disponibles en el microcontrolador, lo que no permite la implementación de una interfase de comunicación con la PC diferente a la transmisión serial.
3. La utilización del formato de punto fijo propuesto, en conjunto con la rutina de normalización de la muestra restringen el número de bits asignados a la parte decimal del número a 8, limitando la resolución a un nivel insuficiente para la fiel representación de los resultados de la transformada.
4. El cálculo de senos en el microcontrolador utilizando tablas induce errores de aproximación que se reflejan en los espectros frecuenciales.
5. La velocidad de ejecución de la rutina en el microcontrolador es menor que la velocidad de ejecución de una rutina de software en una computadora personal (Pentium II, 266 MHz).
6. Para efectos de reconocimiento de voz, es preferible realizar la transformada rápida de Fourier en *software* ya que las computadoras personales hoy en día tienen una alta capacidad de procesamiento que rebasan las capacidades del microcontrolador.
7. Si el resultado de la transformada de Fourier no está basada en una aplicación de tiempo real o sensible al tiempo, y requiere una gran portabilidad, la solución por microcontrolador es preferible frente a una computadora personal.

8. Si se desea aumentar la velocidad de procesamiento, es preferible utilizar un número menor de muestras variando al mismo tiempo la cantidad de bits utilizados para representar los decimales y enteros, aumentando la cantidad de bits para representar los decimales.
9. En lugar de utilizar un microcontrolador para realizar la transformada de Fourier, es preferible utilizar un DSP (*digital signal processor*) ya que estos están diseñados para realizar estas funciones.
10. Utilizar el microcontrolador como un dispositivo de apoyo a una computadora personal no es eficiente debido a la pérdida de tiempo en mandar y recibir información hacia el microcontrolador, así como la capacidad y velocidad de procesamiento de un microcontrolador con bus de 8 bits.

VIII. RECOMENDACIONES

Dado el impacto de los errores de aproximación debidos tanto al formato de punto fijo adoptado y a la aproximación de los valores de seno por medio de tablas, se sugiere diseñar el procedimiento adaptando una convención diferente de punto fijo, que de ser posible, aumenten las cifras significativas en cada número.

Se recomienda adaptar el mismo procedimiento, pero considerando otros dispositivos de memoria externa para el almacenamiento de los datos, que no requieran del uso excesivo de puertos para el direccionamiento; siempre y cuando el funcionamiento de estos dispositivos no altere significativamente el tiempo de ejecución del procedimiento.

IX. BIBLIOGRAFÍA

1. Chávez, J.J. 1994. *Elaboración de Proyectos de Investigación*. 2ª. Edición. XL Publicaciones. Guatemala. 75 págs.
2. Deller, J; J.H. Hansen, J. Proakis. 2000. *Discrete Time Processing of Speech Signals*. IEEE Press. E.E.U.U. 908 págs.
3. Fallside, F; W. Woods. 1985. *Computer Speech Processing*. Prentice Hall. E.E.U.U. 485 págs.
4. Lacoste, R. *Mathematical Functions for the PIC microcontroller* .
5. Lyons, R. 1997. *Understanding Digital Signal Processing*. Addison Wesley. E.E.U.U. 517 págs.
6. Press, W; S. Teukosky, W. Vetterling, B. Flannery. 1999. *Numerical Recipes in C*. Cambridge University Press. E.E.U.U. 994 págs.
7. Soliman, S; M. Srinath. 1998. *Continuous and Discrete Signals and Systems*. 2a. Edición. Prentice Hall. E.E.U.U. 525 págs.

X. APÉNDICES

APÉNDICE A

Código de Assembler para PIC18C452

```

;-----
;Pedro Viscovich
;Carnet No. 96095
;Tesis
;
;                               PROGRAMA PRINCIPAL DE FFT
;-----
;-----
; Configuración
;-----

        PROCESSOR 18C452
        RADIX     HEX
        ERRORLEVEL 0
        ERRORLEVEL -302

#include "P18C452.INC"

;-----
; Vectores de Interruptos
;-----

reset_vector    org H'0000'
                goto start

serial_int      org H'0008'
                goto serial_in

start_appl      org H'0050'

;-----
; Includes para el programa
;-----

#include "vars.inc"      ; Declaramos variables
#include "fixed.inc"    ; Rutinas de punto fijo
#include "fft.inc"      ; FFT
#include "irq.inc"      ; Rutina de Interrupt
#include "serial.inc"   ; Rutina Serial para mandar datos

;-----
; Inicio
;-----

start          nop
                BANKSEL num_sample

                call initialize      ; inicializamos puertos y variables
                call init_serial    ; rutina de inicializacion serial

mainloop      nop

; Rutina de Control de entrada Serial

;--> Hacer la FFT

```

```

call initialize
clrf num_sample,1
clrf num_sample+1,1
bcf TXSTA,TRMT,0
clrf RCREG,0
BANKSEL num_sample
clrf ra+1,1
call PORTDout
nop
bsf INTCON,GIE,0
nop
call DISABLE
nop
prueba
btss num_sample,5,1 ;Ciclo de espera de entrada de datos
goto prueba ;por el puerto Serial
nop
bcf INTCON,GIE,0
nop
clrf num_sample,1
clrf num_sample+1,1
bcf PORTE,2,0

call DISABLE
bsf PORTE,1,0
call reafft ; FFT
bcf PORTE,1,0

bcf PORTC,0,0
bsf PORTE,2,0
call start_send
bcf PORTE,2,0
bcf PORTC,0,0
nop
goto mainloop

```

```

-----
; Inicializacion de Variables y Puertos
-----

```

```
initialize nop
```

```
--> Variables
```

```

BANKSEL num_sample
clrf num_sample,1
clrf num_sample+1,1

```

```
--> Puertos
```

```

bcf T0CON,5,0
movlw B'00000000' ; Puerto RA salida
movwf TRISA,0
movlw B'00000110'
movwf ADCON1,0
clrf PORTA,0

```

```

bcf INTCON2,7,0
movlw B'00000000' ; Puerto RB salida
movwf TRISB,0
clrf PORTB,0

```

```

clrf PORTC,0
clrf LATC,0
movlw B'10000000' ;Configuración Tx y Rx
movwf TRISC,0

```

```

movlw B'00000000' ; Puerto RB salida
movwf TRISE,0
clrf PORTE,0

```

```

        call PORTDout

        goto endinit

PORTDin
        movlw B'11111111' ; Puerto RD entrada
        movwf TRISD,0
        clrf PORTD,0
        return

PORTDout
        movlw B'00000000' ; Puerto RD salida
        movwf TRISD,0
        clrf PORTD,0
        return

endinit

;----->Interruptos

        movlw B'00000000' ;Configuramos interrupto
        movwf INTCON,0          ;en RCREG de puerto Serial
        movwf INTCON2,0
        movwf INTCON3,0
        movwf PIR1,0
        movwf PIE2,0
        movwf RCON,0
        movwf IPR1,0
        movwf IPR2,0
        movlw B'00100000'
        movwf PIE1,0
        bsf INTCON,PEIE,0
        return

;-----
;Control de Entrada y Salida de RAM
;-----

DISABLE
        movlw B'00000011'
        movwf PORTC,0
        return

READ
        movlw B'00000010'
        movwf PORTC,0
        return

;Despues de un READ, hacer DISABLE

WRITE
        movlw B'00000000'
        movwf PORTC,0
        return

;-----
;Inicializacion Serial
;-----

init_serial

        bsf    RCSTA,SPEN,0
        bsf    RCSTA,CREN,0
        bcf    TXSTA,SYNC,0
        bcf    TXSTA,TX9,0
        bsf    TXSTA,BRGH,0
        movlw .16 ;32.000 MHz
        movwf SPBRG,0
        bsf    TXSTA,TXEN,0
        return

```

END

```

=====
;
;      FIN
;
=====

```

```

;
;      serial_in
;
;
;
;

```

```

; Rutina para Responder al Interrupto de RCREG activado
; al llenarse el bufer de entrada del puerto serial.
=====

```

Normalizar

; Normalizamos valor que recibimos del Serial

bcf STATUS,C,0

rrcf ra,F,1 ; division por 4

rrcf ra+1,F,1

bcf STATUS,C,0

rrcf ra,F,1

rrcf ra+1,F,1

movlw D'32' ;ra - H'2000'

cpfslt ra,1

goto restar

bsf STATUS,C,0

movlw H'20'

subfwb ra,F,1

bsf ra,7,1

return

```

restar      subwf ra,F,1 ; Esta ahora de -1.0 a +1.0
            return

```

serial_in

; Velocidad de transmision = 115200 bps

; Tiempo en pasar todos los datos por serial

; mas guardar las 4096 muestras en RAM

; es 0.35seg.

bsf PORTE,0,0

movff RCREG,ra

; Guardamos valor en la posicion a la que apunta num_sample

clrf ra+1,1

call Normalizar

; Normalizamos a nuestra escala de punto flotante

btfss ra,7,1

goto posa

goto nega

rotate

bcf STATUS,C,0

rrcf ra,F,1

rrcf ra+1,F,1

bcf STATUS,C,0

rrcf ra,F,1

rrcf ra+1,F,1

bcf STATUS,C,0

rrcf ra,F,1

rrcf ra+1,F,1

bcf STATUS,C,0

rrcf ra,F,1

rrcf ra+1,F,1

bcf STATUS,C,0

rrcf ra,F,1

rrcf ra+1,F,1

return

posa

call rotate

bcf ra,7,1

goto cont

nega

bcf ra,7,1

call rotate

```

bsf ra,7,1
goto cont

cont      movff num_sample,PORTA      ;Escogemos en que posicion de memoria
          movff num_sample+1,PORTB    ;queremos guardar los datos
          movff ra,PORTD              ;Movemos los datos a RAM
          call WRITE
          call DISABLE                ;Deshabilitamos Write en RAM (READ)
          infsnz num_sample+1,F,1     ;Preparamos para la siguiente muestra
          incf num_sample,F,1
          movff num_sample,PORTA      ;Escogemos en que posicion de memoria
          movff num_sample+1,PORTB    ;queremos guardar los datos
          movff ra+1,PORTD
          call WRITE                  ;Habilitamos Write en RAM (WRITE_)
          call DISABLE                ;Deshabilitamos Write en RAM (READ)
          infsnz num_sample+1,F,1     ;Preparamos para la siguiente muestra
          incf num_sample,F,1
          bcf PORTE,0,0
          rctfie

```

FIN SERIAL

FIXED.INC

; Rutina de operacion de Punto Fijo de Robert Lacoste

 ; m_lda : copiar un registro cualquiera (2 bytes) a ra

```
m_lda      macro inreg
            movff inreg,WREG
            movwf ra,l
            movff inreg+1,WREG
            movwf ra+1,l
            endm
```

 ; m_ldai : obtener la informacion a la que apunta indexreg y guardarla en ra

```
m_ldai     macro indexregh,indexregl
            movff indexregh,tmpi
            movff indexregl,tmpi+1
            bcf STATUS,C                ;x2
            rlcf tmpi+1,F,1
            rlcf tmpi,F,1
            movff tmpi,PORTA
            movff tmpi+1,PORTB
            call PORTDin                ;PORTD as input
            call READ
            movff PORTD,ra
            call DISABLE
            incf tmpi+1,F,1
            movff tmpi+1, PORTB        ;$+14
            call READ
            movff PORTD,ra+1
            call DISABLE
            endm
```

 ; m_ldb : copiar un registro cualquiera (2 bytes) en rb

```
m_ldb      macro inreg
            movff inreg,WREG
            movwf rb,l
            movff inreg+1,WREG
            movwf rb+1,l
            endm
```

 ; m_ldbi : obtener la informacion a la que apunta indexreg y guardarla en rb

```
m_ldbi     macro indexregh, indexregl
            movff indexregh,tmpi
            movff indexregl,tmpi+1
            bcf STATUS,C                ;x2
            rlcf tmpi+1,F,1
            rlcf tmpi,F,1
```

```

movfl tmpi,PORTA
movff tmpi+1,PORTB
call PORTDin           ;PORTD as input
call READ
movff PORTD,rb
call DISABLE
incf tmpi+1,F,1
movff tmpi+1, PORTB
call READ
movff PORTD,rb+1
call DISABLE
endm

```

```

-----
; m_lddiv : copiar un registro (2 bytes) en registro rdiv
-----

```

```

m_lddiv      macro inregh, inregl
              movff inregh,WREG
              movwf rdiv,l
              movff inregl,WREG
              movwf rdiv+1,l
              endm

```

```

-----
; m_sta : guardar el valor de A en un registro general outreg (2 bytes)
-----

```

```

m_sta      macro outreg
            movff ra,WREG
            movwf outreg,l
            movff ra+1,WREG
            movwf outreg+1,l
            endm

```

```

-----
; m_stai : guardar el valor de ra en la direccion de memoria a la que apunta indexreg
-----

```

```

m_stai      macro indexh, indexl
            movff indexl, tmpi+1
            movff indexh,tmpi
            bcf STATUS,C
            rlf tmpi+1,F,1           ;x2
            rlf tmpi,F,1
            movff tmpi,PORTA
            movff tmpi+1,PORTB
            call PORTDout
            movff ra,PORTD
            movff ra,PORTD
            call WRITE
            call DISABLE
            incf tmpi+1,F,1
            movfl tmpi+1, PORTB
            movff ra+1,PORTD
            movff ra+1,PORTD
            call WRITE
            call DISABLE
            endm

```

```

-----
; m_ldaconst : cargar un valor inmediato a ra
-----

```

```

m_ldaconst  macro immvalue
            movlw high immvalue
            movwf ra,l
            movlw low immvalue
            movwf ra+1,l
            endm

```

```
-----
; m_mvba :      copiar rb a rA
;-----
```

```
m_mvba      macro
             movff rb,WREG
             movwf ra,l
             movff rb+1,WREG
             movwf ra+1,l
             endm
```

```
-----
; m_mvab :      copiar ra a rb
;-----
```

```
m_mvab      macro
             movff ra,WREG
             movwf rb,l
             movff ra+1,WREG
             movwf rb+1,l
             endm
```

```
-----
; m_add :      sumar rb a ra (A=A+B)
;-----
```

```
m_add      btfss ra,7,l
            goto pos      ;Es ra>0?
            goto neg      ;Es ra<0?
```

```
neg        bcf ra,7,l      ;Limpieza de signo (sabemos que ra<0)
            btfss rb,7,l
            goto pos3     ;Es rb>0?
            goto neg3     ;Es rb<0?
```

```
neg3       bcf ra,7,l      ;CASO ra<0, rb<0
            bcf rb,7,l      ;Limpieza de signo (sabemos que rb<0)
            movff rb+1,WREG ;Suma
            addwf ra+1,l,l  ;de ra con
            movff rb,WREG  ;rb, seteando
            addwfc ra,l,l   ;el bit de
            bsf ra,7,l      ;signo.
            goto endadd
```

```
pos3       ;CASO ra<0, rb>0
            movff ra,WREG
            cpfsgt rb,l
            goto tsteq2   ;Si rb<=ra...
            movff ra+1,WREG ;Si rb>ra entonces
            subwf rb+1,l,l ;se restan
            movff ra,WREG ;los valores
            subwfb rb,l,l ;pero no se setea
            movff rb,ra
            movff rb+1,ra+1
            goto endadd   ;el bit de signo.
```

```
tstcq2     ;CASO ra<0, rb<=ra
            movff ra,WREG
            cpfseq rb,l   ;ra=rb?
            goto ragrb2   ;ra>rb
            goto tstlow2  ;Si ra=rb, compare parte baja.
```

```
tstlow2    ;CASO ra<0, rb=ra; comparacion parte baja
            movff ra+1,WREG
            cpfsgt rb+1,l
            goto tsteq12  ;si rb+1=ra+1, rb=ra!
```

	<pre> movff ra+1,WREG subwf rb+1,1,1 movff ra,WREG subwfb rb,1,1 movff rb,ra movff rb+1,ra+1 goto endadd </pre>	<pre> ;Si rb+1>ra, entonces ;reste los valores sin ;setear bit de signo, pues ;rb>ra y rb>0. </pre>
tsteql2	<pre> movff ra+1,WREG cpfseq rb+1,1 goto ragrb2 clrf ra,1 clrf ra+1,1 goto endadd </pre>	<pre> ;CASO rb=ra ;El resultado es CERO, pues ;ra<0 y rb>0, pero en magnitud son iguales! </pre>
ragrb2	<pre> movff rb+1,WREG subwf ra+1,1,1 movff rb,WREG subwfb ra,1,1 bsf ra,7,1 goto endadd </pre>	<pre> ;CASO ra<0, ra>rb, ;Se suman ;los valores, ;seteando bit de ;signo (ra<0). </pre>
pos	<pre> btfs rb,7,1 goto pos2 goto neg2 </pre>	<pre> ;CASO ra>0 ;rb>0... ;rb<0... </pre>
pos2	<pre> movff rb+1,WREG addwf ra+1,1,1 movff rb,WREG addwfc ra,1,1 goto endadd </pre>	<pre> ;CASO ra>0, rb>0 ;Como ambos positivos, ;basta sumar ;ambos registros. </pre>
neg2	<pre> bcf rb,7,1 movff ra,WREG cpfsgt rb,1 goto tsteqh movff ra+1,WREG subwf rb+1,1,1 movff ra,WREG subwfb rb,1,1 bsf ra,7,1 goto endadd </pre>	<pre> ;CASO ra>0, rb<0 ;rb<=ra ;CASO ra>0, rb>ra ;En este caso, ;se suman ambos registros ;pero como rb>ra y rb<0, ;seteamos el bit de signo. </pre>
tsteqh	<pre> movff ra,WREG cpfseq rb,1 goto ragrb goto testlow </pre>	<pre> ;CASO ra>0, rb<=ra ;rb<ra... ;rb=ra... </pre>
ragrb	<pre> movff rb+1,WREG subwf ra+1,1,1 movff rb,WREG subwfb ra,1,1 goto endadd </pre>	<pre> ;CASO ra>0, rb<ra ;Se suman ambos registros, ;no se setea el bit de signo. </pre>
testlow	<pre> movff ra+1,WREG cpfsgt rb+1,1 goto testleq movff ra+1,WREG subwf rb+1,1,1 movff ra,WREG subwfb rb,1,1 movff rb,ra movff rb+1,ra+1 </pre>	<pre> ;CASO ra>0, rb=ra... prueba parte baja! ;rb+1<=ra+1; ;CASO ra>0, rb+1>ra+1a ;Se sabe que rb<0 en este caso, entonces ;se suman los valores y se setea ;el bit de signo. </pre>


```

pisrbeqra
    cpfseq rb,l
    goto posragtposrb
    movff ra+1,WREG
    cpfsgt rb+1,l
    goto pisrbleqral
    goto posrblgtposral

```

```

posragtposrb
    movff rb+l,WREG
    subwf ra+1,l,l
    movff rb,WREG
    subwfb ra,l,l
    goto endsub

```

```

pisrbleqral
    cpfseq rb+1,l
    goto posralgtposrbl
    clrf ra,l
    clrf ra+1,l
    goto endsub

```

```

posralgtposrbl
    movff rb+1,WREG
    subwf ra+1,l,l
    movff rb,WREG
    subwfb ra,l,l
    goto endsub

```

```

posrblgtposral
    movff ra+1,WREG
    subwf rb+1,l,l
    movff ra,WREG
    subwfb rb,l,l
    movff rb,ra
    movff rb+1,ra+1
    bsf ra,7,l
    goto endsub

```

```

-----
;
;
;           FIN CASO RA Y RB SON POSITIVOS
;
;
;
-----

```

```

;
;
;           CASO EN EL QUE RA Y RB SON NEGATIVOS
;
;
;
-----

```

```

negA
    bcf rb,7,l           ;Si ra es Negativo y rb es Negativo, entonces
    bcf ra,7,l           ;ya sabemos que son negativos, y limpiamos el bit
    movff ra,WREG        ;de negativo (bit 7 MSB en ambas variables). Luego
    cpfsgt rb,l          ;Comparamos si rb>ra
    goto isrbeqra        ;Caso rb no es > que ra
    goto negrbgtnegra    ;Caso rb es > que ra

```

```

negrbgtnegra
    movff ra+1,WREG      ;Si -rb>-ra entonces hacemos la resta de
    subwf rb+1,l,l       ;rb-ra. Debido a que la formula es -ra-(-rb)
    movff ra,WREG        ;nos queda de la siguiente forma: -ra+rb, y como
    subwfb rb,l,l        ;rb es mayor, entonces el resultado es positivo
    movff rb,ra          ;y lo guardamos en ra despues de hacer la resta.
    movff rb+1,ra+1
    goto endsub

```

```

isrbeqra
    cpfseq rb,l          ;Si -rb no es > que -ra, entonces comparamos si
    goto negrbgtnegra    ;rb = ra. Si son iguales, entonces comparamos si
    movff ra+1,WREG      ;rb+1 > ra+1 (LSB).

```

```

    cpfsgt rb+1,1
    goto isrbleqral ;Caso rb+1 no es > que ra+1
    goto negrbgtnegral ;Caso rb+1 > ra+1

negragtnegrb
    movff rb+1,WREG ;Caso en el que ra > rb. Hacemos la siguiente
    subwf ra+1,1,1 ;operacion: -ra-(-rb) = -ra+rb = -ra
    movff rb,WREG
    subwfb ra,1,1
    bsf ra,7,1
    goto endsub

negrbgtnegral
    movff ra+1,WREG ;Si -rb+1 > -ra+1 entonces -rb>-ra y por lo
    subwf rb+1,1,1 ;tanto la equacion queda de la siguiente forma:
    movff ra,WREG ;-ra-(-rb) = -ra+rb, por lo que hacemos la resta
    subwfb rb,1,1 ;de rb-ra, y el resultado lo guardamos en ra.
    movff rb,ra
    movff rb+1,ra+1
    goto endsub

isrbleqral
    cpfseq rb+1,1
    goto negralgtnegrbl
    goto negrbeqnegra

negrbeqnegra
    clrf ra,1
    clrf ra+1,1
    goto endsub

negralgtnegrbl
    movff rb+1,WREG
    subwf ra+1,1,1
    movff rb,WREG
    subwfb ra,1,1
    bsf ra,7,1
    goto endsub

;-----
;
;                               FIN CASO RA Y RB SON NEGATIVOS
;
;-----
endsub
    return

;-----
; m_mult : multiplica ra a rb (A=A*B)
;-----

m_mult
    clrf WREG,0
    btfsc rb,7,1 ; probar si rb<0
    bsf WREG,7,0
    btfsc ra,7,1 ; probar si ra<0
    xorlw B'10000000'
    movff WREG,sign
    bcf rb,7,1
    bcf ra,7,1

    movff ra+1,WREG ; bajo x bajo
    mulwf rb+1,1
    movff PRODH,mres1
    movff PRODL,mres0
    movff ra,WREG ; alto x alto
    mulwf rb,1
    movff PRODI,mres3
    movff PRODL,mres2
    movff ra+1,WREG ;bajo x alto

```

```

mulwf rb,1
movff PRODL,WREG
addwf mres1,F,1
movff PRODH,WREG
addwfc mres2,F,1
clrf WREG,0
addwfc mres3,F,1
movff ra,WREG           ; alto x bajo
mulwf rb+1,1
movff PRODL,WREG
addwf mres1,F,1
movff PRODH,WREG
addwfc mres2,F,1
clrf WREG,0
addwfc mres3,F,1

movff mres2, ra         ; guardar resultado en ra
movff mres1, ra+1
tstfsz sign,1
bsf ra,7,1

movlw B'01111111'      ;Rutina para evitar el problema
andwf ra,W,1           ;de -0.00000000
tstfsz WREG,0         ;Si ra y ra+1 son 0, entonces
goto end_mult         ;limpie el bit de signo.
tstfsz ra+1,1
goto end_mult
bcf ra,7,1

```

```
end_mult return
```

```

-----
; m_divi : divide A con rdiv (A=A/DIV), rdiv es un entero sin signo
;-----

```

```

#define AARGB0 (ra)
#define AARGB1 (ra+1)
#define ACCB0 (ra)
#define ACCB1 (ra+1)
#define BARGB0 (rdiv)
#define BARGB1 (rdiv+1)
#define REMB0 (mres0)
#define REMB1 (mres1)

```

```
#include "div16.inc"           ; Rutina de Microchip para division
                               ; de 16 bits / 16 bits
```

```

m_divi      bcf msign,0,1
            btfsz ra,7,1
            goto m_divdiv
            bsf msign,0,1

            comf ra,F,1           ; si A<0, A=-A
            comf ra+1,F,1
            movlw 1
            addwf ra+1,F,1
            movlw 0
            addwfc ra,F,1

```

```
m_divdiv call FXD1616U         ; hacer la division
```

```

            btfsz msign,0,1       ; si A es <0
            goto end_mdivi
            comf ra,F,1           ; A=-A
            comf ra+1,F,1
            movlw 1
            addwf ra+1,F,1
            movlw 0
            addwfc ra,F,1

```

end_mdivi return

```
-----
; m_div2 : divide A con 2 (A=A/2)
;
-----
```

m_div2

```

    clrf sign,1
    btfsc ra,7,1      ; divide byte mas significativo
    bsf sign,7,1
    bcf ra,7,1       ; y menos significativo
    bcf STATUS,C,0
    rrcf ra,1,1
    rrcf ra+1,1,1
    btfsc sign,7,1
    bsf ra,7,1

    movlw B'01111111' ; Rutina para cvitar el problema
    andwf ra,W,1      ; de -0.00000000
    tstfsz WREG,0     ; Si ra y ra+1 son 0, entonces
    goto endm_div2   ; limpie el bit de signo.
    tstfsz ra+1,1
    goto endm_div2
    bcf ra,7,1

```

endm_div2return

```
-----
; m_sin : reemplaza ra con sen(A)
;
-----
```

		radix dec							
tblcero	dw	0,	31,	63,	95,	127,	159,	191,	223
	dw	255,	287,	319,	351,	383,	415,	447,	479
	dw	511,	543,	575,	607,	639,	671,	703,	735
	dw	766,	798,	830,	862,	894,	926,	957,	989
	dw	1021,	1053,	1084,	1116,	1148,	1179,	1211,	1243
	dw	1274,	1306,	1337,	1369,	1401,	1432,	1464,	1495
	dw	1527,	1558,	1589,	1621,	1652,	1683,	1715,	1746
	dw	1777,	1808,	1840,	1871,	1902,	1933,	1964,	1995
	dw	2026,	2057,	2088,	2119,	2150,	2181,	2212,	2242
	dw	2273,	2304,	2335,	2365,	2396,	2427,	2457,	2488
	dw	2518,	2548,	2579,	2609,	2640,	2670,	2700,	2730
	dw	2760,	2790,	2821,	2851,	2881,	2910,	2940,	2970
	dw	3000,	3030,	3059,	3089,	3119,	3148,	3178,	3207
	dw	3237,	3266,	3295,	3325,	3354,	3383,	3412,	3441
	dw	3470,	3499,	3528,	3557,	3586,	3615,	3643,	3672
	dw	3700,	3729,	3757,	3786,	3814,	3842,	3871,	3899
	dw	3927,	3955,	3983,	4011,	4039,	4067,	4094,	4122
	dw	4150,	4177,	4205,	4232,	4260,	4287,	4314,	4341
	dw	4368,	4395,	4422,	4449,	4476,	4503,	4530,	4556
	dw	4583,	4609,	4636,	4662,	4688,	4714,	4741,	4767
dw	4793,	4819,	4844,	4870,	4896,	4921,	4947,	4972	
dw	4998,	5023,	5048,	5074,	5099,	5124,	5149,	5173	
dw	5198,	5223,	5248,	5272,	5296,	5321,	5345,	5369	
dw	5393,	5418,	5441,	5465,	5489,	5513,	5536,	5560	
dw	5583,	5607,	5630,	5653,	5676,	5699,	5722,	5745	
dw	5768,	5791,	5813,	5836,	5858,	5881,	5903,	5925	
dw	5947,	5969,	5991,	6013,	6034,	6056,	6077,	6099	
dw	6120,	6141,	6162,	6183,	6204,	6225,	6246,	6267	
dw	6287,	6308,	6328,	6348,	6368,	6389,	6409,	6428	
dw	6448,	6468,	6487,	6507,	6526,	6546,	6565,	6584	
dw	6603,	6622,	6641,	6659,	6678,	6696,	6715,	6733	
dw	6751,	6769,	6787,	6805,	6823,	6840,	6858,	6875	

radix hex

tbluno radix dec

dw	6893,	6910,	6927,	6944,	6961,	6978,	6995,	7011
----	-------	-------	-------	-------	-------	-------	-------	------

dw	7028,	7044,	7060,	7077,	7093,	7109,	7124,	7140
dw	7156,	7171,	7187,	7202,	7217,	7232,	7247,	7262
dw	7277,	7292,	7306,	7320,	7335,	7349,	7363,	7377
dw	7391,	7405,	7418,	7432,	7445,	7458,	7472,	7485
dw	7498,	7510,	7523,	7536,	7548,	7561,	7573,	7585
dw	7597,	7609,	7621,	7632,	7644,	7655,	7667,	7678
dw	7689,	7700,	7711,	7722,	7732,	7743,	7753,	7763
dw	7774,	7784,	7794,	7803,	7813,	7823,	7832,	7841
dw	7850,	7860,	7869,	7877,	7886,	7895,	7903,	7912
dw	7920,	7928,	7936,	7944,	7951,	7959,	7967,	7974
dw	7981,	7988,	7995,	8002,	8009,	8016,	8022,	8029
dw	8035,	8041,	8047,	8053,	8059,	8065,	8070,	8076
dw	8081,	8086,	8091,	8096,	8101,	8106,	8110,	8115
dw	8119,	8123,	8127,	8131,	8135,	8139,	8142,	8146
dw	8149,	8152,	8155,	8158,	8161,	8164,	8166,	8169
dw	8171,	8173,	8175,	8177,	8179,	8181,	8182,	8184
dw	8185,	8186,	8187,	8188,	8189,	8190,	8190,	8191
dw	8191,	8191,	8191,	8191,	8191,	8191,	8191,	8190
dw	8189,	8189,	8188,	8187,	8185,	8184,	8183,	8181
dw	8179,	8178,	8176,	8174,	8172,	8169,	8167,	8164
dw	8162,	8159,	8156,	8153,	8150,	8146,	8143,	8139
dw	8136,	8132,	8128,	8124,	8120,	8116,	8111,	8107
dw	8102,	8097,	8092,	8087,	8082,	8077,	8071,	8066
dw	8060,	8055,	8049,	8043,	8037,	8030,	8024,	8017
dw	8011,	8004,	7997,	7990,	7983,	7976,	7968,	7961
dw	7953,	7946,	7938,	7930,	7922,	7914,	7905,	7897
dw	7888,	7880,	7871,	7862,	7853,	7844,	7834,	7825
dw	7815,	7806,	7796,	7786,	7776,	7766,	7756,	7745
dw	7735,	7724,	7714,	7703,	7692,	7681,	7670,	7658
dw	7647,	7635,	7624,	7612,	7600,	7588,	7576,	7564
dw	7551,	7539,	7526,	7514,	7501,	7488,	7475,	7462

radix hex

radix dec

tblDOS

dw	7448,	7435,	7422,	7408,	7394,	7380,	7367,	7352
dw	7338,	7324,	7310,	7295,	7281,	7266,	7251,	7236
dw	7221,	7206,	7191,	7175,	7160,	7144,	7128,	7113
dw	7097,	7081,	7064,	7048,	7032,	7015,	6999,	6982
dw	6965,	6948,	6931,	6914,	6897,	6880,	6862,	6845
dw	6827,	6809,	6792,	6774,	6756,	6738,	6719,	6701
dw	6682,	6664,	6645,	6626,	6608,	6589,	6570,	6550
dw	6531,	6512,	6492,	6473,	6453,	6433,	6413,	6394
dw	6373,	6353,	6333,	6313,	6292,	6272,	6251,	6230
dw	6210,	6189,	6168,	6147,	6125,	6104,	6083,	6061
dw	6040,	6018,	5996,	5974,	5952,	5930,	5908,	5886
dw	5864,	5841,	5819,	5796,	5774,	5751,	5728,	5705
dw	5682,	5659,	5636,	5613,	5589,	5566,	5542,	5519
dw	5495,	5471,	5447,	5423,	5399,	5375,	5351,	5327
dw	5303,	5278,	5254,	5229,	5204,	5180,	5155,	5130
dw	5105,	5080,	5055,	5029,	5004,	4979,	4953,	4928
dw	4902,	4877,	4851,	4825,	4799,	4773,	4747,	4721
dw	4695,	4668,	4642,	4616,	4589,	4563,	4536,	4509
dw	4483,	4456,	4429,	4402,	4375,	4348,	4321,	4294
dw	4266,	4239,	4212,	4184,	4156,	4129,	4101,	4073
dw	4046,	4018,	3990,	3962,	3934,	3906,	3878,	3849
dw	3821,	3793,	3764,	3736,	3707,	3679,	3650,	3622
dw	3593,	3564,	3535,	3506,	3477,	3448,	3419,	3390
dw	3361,	3332,	3303,	3273,	3244,	3215,	3185,	3156
dw	3126,	3096,	3067,	3037,	3007,	2978,	2948,	2918
dw	2888,	2858,	2828,	2798,	2768,	2738,	2708,	2677
dw	2647,	2617,	2586,	2556,	2526,	2495,	2465,	2434
dw	2404,	2373,	2342,	2312,	2281,	2250,	2219,	2189
dw	2158,	2127,	2096,	2065,	2034,	2003,	1972,	1941
dw	1910,	1879,	1847,	1816,	1785,	1754,	1722,	1691
dw	1660,	1628,	1597,	1566,	1534,	1503,	1471,	1440
dw	1408,	1377,	1345,	1314,	1282,	1251,	1219,	1187

radix hex

radix dec

tbltres

dw	1156,	1124,	1092,	1060,	1029,	997,	965,	933
dw	902,	870,	838,	806,	774,	742,	711,	679
dw	647,	615,	583,	551,	519,	487,	455,	423
dw	391,	359,	327,	295,	263,	231,	199,	167
dw	135,	103,	71,	39,	0,	32792,	32824,	32856
dw	32888,	32920,	32952,	32984,	33016,	33048,	33079,	33111
dw	33143,	33175,	33207,	33239,	33271,	33303,	33335,	33367
dw	33399,	33431,	33463,	33495,	33526,	33558,	33590,	33622
dw	33654,	33686,	33717,	33749,	33781,	33813,	33844,	33876
dw	33908,	33940,	33971,	34003,	34034,	34066,	34098,	34129
dw	34161,	34192,	34224,	34255,	34287,	34318,	34350,	34381
dw	34412,	34444,	34475,	34506,	34538,	34569,	34600,	34631
dw	34662,	34693,	34724,	34756,	34787,	34818,	34849,	34879
dw	34910,	34941,	34972,	35003,	35034,	35064,	35095,	35126
dw	35156,	35187,	35217,	35248,	35278,	35309,	35339,	35370
dw	35400,	35430,	35461,	35491,	35521,	35551,	35581,	35611
dw	35641,	35671,	35701,	35731,	35761,	35790,	35820,	35850
dw	35879,	35909,	35939,	35968,	35997,	36027,	36056,	36085
dw	36115,	36144,	36173,	36202,	36231,	36260,	36289,	36318
dw	36347,	36375,	36404,	36433,	36461,	36490,	36518,	36547
dw	36575,	36603,	36632,	36660,	36688,	36716,	36744,	36772
dw	36800,	36828,	36855,	36883,	36911,	36938,	36966,	36993
dw	37021,	37048,	37075,	37102,	37130,	37157,	37184,	37211
dw	37237,	37264,	37291,	37318,	37344,	37371,	37397,	37423
dw	37450,	37476,	37502,	37528,	37554,	37580,	37606,	37632
dw	37657,	37683,	37709,	37734,	37760,	37785,	37810,	37835
dw	37860,	37885,	37910,	37935,	37960,	37985,	38009,	38034
dw	38058,	38083,	38107,	38131,	38156,	38180,	38204,	38227
dw	38251,	38275,	38299,	38322,	38346,	38369,	38392,	38416
dw	38439,	38462,	38485,	38508,	38530,	38553,	38576,	38598
dw	38621,	38643,	38665,	38687,	38710,	38731,	38753,	38775
dw	38797,	38819,	38840,	38861,	38883,	38904,	38925,	38946

radix hex

m_sin

```
movff rb,sin_saveb ; guarda rb
movff rb+1,sin_saveb+1
```

```
movff ra,rt
movff ra+1,rt+1
clrf rt,l
btfss ra,l
goto tst5c
goto tst5s
```

tst5s

```
btfss ra,0,l
goto dos
goto tres
```

tst5c

```
btfss ra,0,l
goto cero
goto uno
```

cero

```
BCF STATUS,C
rlcf rt+1,l
rlcf rt,l
call pointer0
call t_read
call t_rotate
goto end_sin
```

uno

```
BCF STATUS,C
rlcf rt+1,l
rlcf rt,l
call pointerf
```

```

        call t_read
        call t_rotate
        goto end_sin

dos
        BCF STATUS,C
        rlf rt+1,1
        rlf rt,1
        call pointer2
        call t_read
        call t_rotate
        goto end_sin

tres
        BCF STATUS,C
        rlf rt+1,1
        rlf rt,1
        call pointer3
        call t_read
        call t_rotate
        goto end_sin

pointer0
        movlw upper (tblcero)
        movff WREG,TBLPTRU
        movlw low (tblcero)
        addwf rt+1,W,1
        movff WREG,TBLPTRL
        movlw high (tblcero)
        addwfc rt,W,1
        movff WREG,TBLPTRH
        return

pointer1
        movlw upper (tbluno)
        movff WREG,TBLPTRU
        movlw low (tbluno)
        addwf rt+1,W,1
        movff WREG,TBLPTRL
        movlw high (tbluno)
        addwfc rt,W,1
        movff WREG,TBLPTRH
        return

pointer2
        movlw upper (tblDOS)
        movff WREG,TBLPTRU
        movlw low (tblDOS)
        addwf rt+1,W,1
        movff WREG,TBLPTRL
        movlw high (tblDOS)
        addwfc rt,W,1
        movff WREG,TBLPTRH
        return

pointer3
        movlw upper (tbltres)
        movff WREG,TBLPTRU
        movlw low (tbltres)
        addwf rt+1,W,1
        movff WREG,TBLPTRL
        movlw high (tbltres)
        addwfc rt,W,1
        movff WREG,TBLPTRH
        return

t_rotate BCF STATUS,C,0
        rrcf ra,1
        rrcf ra+1,1

```

```
BCF STATUS,C,0
rref ra,1
ref ra+1,1

BCF STATUS,C,0
rref ra,1
ref ra+1,1

BCF STATUS,C,0
rref ra,1
ref ra+1,1

BCF STATUS,C,0
rref ra,1
ref ra+1,1
return

t_read
tblrd*+ ;leer directamente de la tabla
movff TABLAT,x0+1;Se lee el LSB primero
tblrd*+
movff TABLAT,x0 ;Luego se lee el MSB
movff x0,ra
movff x0+1,ra+1
return

end_sin m_ldb sin_saveh
return
```

FIN FIXED.INC

```

;-----
;                                     FFT REAL
;-----
; Algoritmo de "Numerical recipes in C", cambiado de C++ a Assembler
;-----

fft      nop                                ; Entrada FFT

; ----> inicializacion
clrf j,1                                ; (HIGH) j=0
clrf j+1,1                              ; (LOW)

; ----> reversion de bits
clrf i,1                                ; (HIGH) for(i=0;i<n-1;i+=2) {
clrf i+1,1

iloop1   nop

ifl      movff i,WREG                      ; if (j>i) {
         cpfsgt j,1
         goto no1
         goto sil
no1      cpfseq j,1
         goto endifl
         movff i+1,WREG
         cpfsgt j+1,1
         goto endifl

sil      nop
         m_ldai j,j+1                      ; m_ldai(j)
         m_ldbi i,i+1                      ; m_ldbi(i)
         m_stai i,i+1                      ; m_stai(i)
         m_mvba                             ; m_mvba()
         m_stai j,j+1                      ; m_stai(j)

         infsnz j+1,F,1
         incf j,F,1
         infsnz i+1,F,1
         incf i,F,1

         m_ldai j,j+1                      ; m_ldai(j+1)
         m_ldbi i,i+1                      ; m_ldbi(i+1)
         m_stai i,i+1                      ; m_stai(i+1)
         m_mvba                             ; m_mvba()
         m_stai j,j+1                      ; m_stai(j+1)

         bcf STATUS,N,0
         decf j+1,F,1
         btfs STATUS,N,0
         goto tst1
         goto ok1
tst1     btfss j+1,7,1
         decf j,F,1
ok1      bcf STATUS,N,0
         decf i+1,F,1
         btfs STATUS,N,0
         goto tst15
         goto endifl
tst15    btfss i+1,7,1
         decf i,F,1

```

```

endifl    nop                                ; } endif
          movlw B'00000000'
          movwf m+1,1                        ;(LOW)
          movlw B'00001000'
          movwf m,1                          ;(HIGH)

while1    movlw .0                          ; while(m>=2 && j>=m) {
          cpfseq m,1
          goto while1si                      ;es mayor que 2
          movlw D'2'
          cpfslt m+1,1
          goto while1si
          goto wend1

while1si  movff m,WREG                      ;Comparamos si j>m
          cpfslt j,1
          goto $+6                          ;Si, entonces compare si es igual ALOO
          goto wend1                        ;No, entonces salga del while1
          cpfseq j,1                        ;Si es igual, compare m+1
          goto while1si                    ;Si es mayor, vaya a while1si
          movff m+1,WREG                   ;Comparamos la parte baja de m (m+1)
          cpfslt j+1,1
          goto while1si                    ;Si es mayor, entonces vaya a while1si
          goto wend1                       ;Si es menor, entonces salga del while1

while1si  movff m+1,WREG                    ;j-=m
          subwf j+1,F,1
          movff m,WREG
          subwf j,F,1

          bcf STATUS,C,0                   ; m>=1
          rrcf m,F,1
          rrcf m+1,F,1

wloop1    goto while1                      ; }

wend1     movff m+1,WREG                    ;j+=m
          addwf j+1,F,1
          movff m,WREG
          addwfc j,F,1

inext1    infsnz i+1,F,1                    ; } next i
          incf i,1
          infsnz i+1,F,1
          inef i,1
          btfss i,4,1                      ;Cambiar a 4
          goto iloop1
          nop

; -----> FFT
          movlw D'2'                        ; mmax=2
          movwf mmax+1,1
          movlw D'0'
          movwf mmax,1

while2    btfss mmax,4,1                    ; while(n>mmax) {
          goto $+6
          goto wend2

          movff mmax+1,WREG                 ; istep=mmax<<1
          bcf STATUS,C,0
          rlcw WREG,W,0                     ;nota
          movwf istep+1,1
          movff mmax,WREG
          rlcw WREG,W,0                     ;nota
          movwf istep,1

```

```

; theta=2pi/mmax
m_ldaconst H'324'          ; m_ldaconst(3.14159265459)
m_lddiv mmax, mmax+1      ; m_lddiv(mmax>>1)
nop

bef STATUS,C,0
rrcf rdiv,F,1
rrcf rdiv+1,F,1

call m_divi                ; m_divi()
m_sta theta                ; m_sta(&theta)
nop

; wpr=-2*sin(theta/2)^2
movlw D'0'
movwf rdiv,1
movlw D'2'                  ; m_lddiv(2)
movwf rdiv+1,1
call m_divi                ; m_divi()
call m_sin                 ; m_sin()
nop
m_mvab                     ; m_mvab()
call m_mult                ; m_mult()
m_mvab                     ; m_mvab()
m_ldaconst H'8200'         ; m_ldaconst(-2.0)
call m_mult                ; m_mult()
m_sta wpr                  ; m_sta(&wpr)
nop

; wpi=n_sin(theta)
m_lda theta                ; m_lda(theta)
call m_sin                 ; m_sin()
m_sta wpi                  ; m_sta(&wpi)

; wr=1, wi=0
m_ldaconst H'0100'         ; m_ldaconst(1.0)
m_sta wr                   ; m_sta(&wr)
m_ldaconst H'0000'         ; m_ldaconst(0.0)
m_sta wi                   ; m_sta(&wi)
nop

fftst1  nop

        clr f m,1          ; for(m=0;m<mmax-1;m+=2) {
        clr m+1,1
mloop1  movff mmax+1,tmpi2+1 ; mmax-1
        movff mmax,tmpi2

        movlw D'1'
        subwf tmpi2+1,1,1
        movlw D'0'
        subwfb tmpi2,1,1

        movff tmpi2,WREG    ;Comparamos si mmax-1 (tmpi2) > m
        cpslt m,1          ;Si, entonces vaya a fftst2
        goto $ + 6         ;No, entonces compare LSB
        cpfseq m,1
        goto mendl
        movff tmpi2+1,WREG  ;Comparamos la parte baja de m (m+1)
        cpslt m+1,1
        goto mendl        ;Si es mayor, entonces vaya a mendl
                           ;Si es menor, entonces vaya a fftst2

fftst2  nop
        movff m+1,i+1
        movff m,i

iloop2  nop                ; j=i+mmax

```

```

movff i+1,j+1
movff i,j
movff mmax+1,WREG
addwf j+1,F,1
movff mmax,WREG
addwfc j,F,1
nop

fftst3  nop

; h1r=wr*data[j]-wi*data[j+1]
m_lda wi ; m_lda(wi)
infsnz j+1,F,1 ; m_ldbi(j+1)
incf j,F,1
m_ldbi j,j+1
nop

movlw D'1'
subwf j+1,1,1
movlw D'0'
subwfb j,1,1

call m_mult ; m_mult()
m_sta h1r ; m_sta(&h1r)
m_lda wr ; m_lda(wr)
m_ldbi j,j+1 ; m_ldbi(j)
call m_mult ; m_mult()
m_ldb h1r ; m_ldb(h1r)
call m_sub ; m_sub()
m_sta h1r ; m_sta(&h1r)
nop

; h1i=wr*data[j+1]+wi*data[j]
m_lda wi ; m_lda(wi)
m_ldbi j,j+1 ; m_ldbi(j)
call m_mult ; m_mult()
m_sta h1i ; m_sta(&h1i)
m_lda wr ; m_lda(wr)

infsnz j+1,F,1 ; m_ldbi(j+1)
incf j,F,1
m_ldbi j,j+1

call m_mult ; m_mult()
m_ldb h1i ; m_ldb(h1i)
call m_add ; m_add()
m_sta h1i ; m_sta(&h1i)
nop

movlw D'1'
subwf j+1,1,1
movlw D'0'
subwfb j,1,1

; rutina de mariposa

; data[j]=(data[i]-h1r)/2
nop
m_ldai i,i+1 ; m_ldai(i)
m_ldb h1r ; m_ldb(h1r)
call m_sub ; m_sub()
m_stai j,j+1 ; m_stai(j)
nop

; data[j+1]=(data[i+1]-h1i)/2
infsnz i+1,F,1 ; m_ldai(i+1)
incf i,F,1

m_ldai i,i+1

```

```

movlw D'1'
subwf i+1,1,1
movlw D'0'
subwfb i,1,1

m_ldb h1i                ; m_ldb(h1i)
call m_sub                ; m_sub()
infsnz j+1,F,1           ; m_stai(j+1)
incf j,F,1
m_stai j, j+1
nop

movlw D'1'
subwf j+1,1,1
movlw D'0'
subwfb j,1,1

; data[i]=(data[i]+h1r)/2
m_ldai i, i+1            ; m_ldai(i)
m_ldb h1r                ; m_ldb(h1r)
call m_add                ; m_add()
m_stai i, i+1            ; m_stai(i)
nop

; data[i+1]=(data[i+1]+h1i)/2
infsnz i+1,F,1           ; m_ldai(i+1)
incf i,F,1
m_ldai i, i+1

movlw D'1'
subwf i+1,1,1
movlw D'0'
subwfb i,1,1

m_ldb h1i                ; m_ldb(h1i)
call m_add                ; m_add()
infsnz i+1,F,1           ; m_stai(i+1)
incf i,F,1
m_stai i, i+1
nop

movlw D'1'
subwf i+1,1,1
movlw D'0'
subwfb i,1,1

inext2
btfss istep,4,1
goto $+6
goto iend2
bcf STATUS,C,0
movff istep+1,WREG
addwf i+1,F,1
movff istep,WREG
addwfc i,F,1
btfss i,4,1
goto iloop2

; wtemp=wr
iend2 m_lda wr                ; m_lda(wr)
m_sta wtemp                ; m_sta(&wtemp)
nop
; wr=wr*wpr-wi*wpi+wr
m_lda wi                ; m_lda(wi)
m_ldb wpi                ; m_ldb(wpi)
call m_mult                ; m_mult()
m_sta h1r                ; m_sta(&h1r)
m_lda wr                ; m_lda(wr)

```

```

m_ldb wpr                ; m_ldb(wpr)
call m_mult              ; m_mult()
m_ldb h1r                ; m_ldb(h1r)
call m_sub               ; m_sub()
m_ldb wr                 ; m_ldb(wr)
call m_add               ; m_add()
m_sta wr                 ; m_sta(&wr)
nop

; wi=wi*wpr+wtemp*wpi+wi
m_lda wtemp              ; m_lda(wtemp)
m_ldb wpi                ; m_ldb(wpi)
call m_mult              ; m_mult()
m_sta h1i                ; m_sta(&h1i)
m_lda wi                 ; m_lda(wi)
m_ldb wpr                ; m_ldb(wpr)
call m_mult              ; m_mult()
m_ldb h1i                ; m_ldb(h1i)
call m_add               ; m_add()
m_ldb wi                 ; m_ldb(wi)
call m_add               ; m_add()
m_sta wi                 ; m_sta(&wi)
nop

mnext1  infsnz m+1,F,1          ; } next m
        incf m,F,1
        infsnz m+ 1,F,1
        incf m,F,1
        goto mloop1
mend1   nop

        movff istep+1,mmax+1    ; mmax=istep
        movff istep,mmax

wloop2  goto while2            ; } end while
wend2   return

```

```

-----
;
;                                     FFT REAL
;
; Algoritmo de "Numerical recipes in C", cambiado de C++ a Assembler
;
-----

realfft    nop

          call fft
          nop

          ; theta=2pi/n
          m_ldaconst H'324'           ; m_ldaconst(3.14159265459)

          movlw B'00000000'
          movwf rdiv+1,1              ;(LOW)   m_lddiv(n>>1)
          movlw B'00001000'
          movwf rdiv,1                ;(HIGH)

          call m_divi                  ; m_divi()
          m_sta theta                  ; m_sta(&theta)

          ; wpr=-2*sin(theta/2)^2
          movlw D'0'
          movwf rdiv,1
          movlw D'2'                  ; m_lddiv(2)
          movwf rdiv+1,1
          call m_divi                  ; m_divi()
          call m_sin                   ; m_sin()
          nop
          m_mvab                       ; m_mvab()
          call m_mult                   ; m_mult()
          m_mvab                       ; m_mvab()
          m_ldaconst H'8200'           ; m_ldaconst(-2.0)
          call m_mult                   ; m_mult()
          m_sta wpr                    ; m_sta(&wpr)
          nop

          ; wpi=n*sin(theta)
          m_lda theta                  ; m_lda(theta)
          call m_sin                   ; m_sin()
          m_sta wpi                    ; m_sta(&wpi)

          ; wr=1+wpr, wi=wpi
          m_ldb wpr                    ; m_ldb(wpr)
          m_ldaconst H'0100'           ; m_ldaconst(1.0)
          call m_add                    ; m_add()
          m_sta wr                      ; m_sta(&wr)
          m_lda wpi                    ; m_lda(wpi)
          m_sta wi                      ; m_sta(&wi)
          nop

          clrf i,1
          movlw D'2'                   ; for(i=2;i<=(n>>2);i++) {
          movwf i+1,1
          clrf i,1

iloop3    movlw B'00000100'
          cpfsgt i,1
          goto testcquall
          goto iend3

testequall

```

```

        cpfseq i,1
        goto ok9
        goto tstlow9
tstlow9
        tstfsz i+1,1
        goto iend3
        goto ok9
ok9
        movff i+1,i1+1                ; i1=i+1-2
        movff i,i1
        movff i+1,WREG                ; byte menos significativo primero
        addwf i1+1,1,1
        movff i,WREG                  ; y luego byte mas significativo con carry
        addwfc i1,1,1
        movlw D'2'
        subwf i1+1,1,1
        movlw D'0'
        subwfb i1,1,1
        nop

        movff i1+1,WREG                ; i2=1+i1
        movwf i2+1,1
        movff i1,WREG
        movwf i2,1
        infsnz i2+1,F,1
        incf i2,F,1
        nop

        movff i2+1,WREG                ; i3=n-i2+1
        sublw B'00000000'
        movwf i3+1,1
        movff i2,WREG
        sublw B'00010000'
        movwf i3,1
        btfsc STATUS,C
        decf i3,F,1
        infsnz i3+1,F,1
        incf i3,F,1
        nop

        movff i3+1,i4+1                ; i4=1+i3
        movff i3,i4
        infsnz i4+1,F,1
        incf i4,F,1
        nop

        ; h1r=(data[i1]+data[i3])/2
        m_ldai i1, i1+1                ; m_ldai(i1)
        m_ldbi i3, i3+1                ; m_ldbi(i3)
        call m_add                      ; m_add()
        call m_div2                     ; m_div2()
        m_sta h1r                       ; m_sta(&h1r)
        nop

        ; h1i=(data[i2]-data[i4])/2
        m_ldai i2, i2+1                ; m_ldai(i2)
        m_ldbi i4, i4+1                ; m_ldbi(i4)
        call m_sub                      ; m_sub()
        call m_div2                     ; m_div2()
        m_sta h1i                       ; m_sta(&h1i)
        nop

        ; h2r=(data[i2]+data[i4])/2
        m_ldai i2, i2+1                ; m_ldai(i2)
        m_ldbi i4, i4+1                ; m_ldbi(i4)
        call m_add                      ; m_add()
        call m_div2                     ; m_div2()
        m_sta h2r                       ; m_sta(&h2r)
        nop

```

```

; h2i:=(data[i1]-data[i3])/2
m_ldai i3, i3+1           ; m_ldai(i3)
m_ldbi i1, i1+1           ; m_ldbi(i1)
call m_sub                ; m_sub()
call m_div2                ; m_div2()
m_sta h2i                  ; m_sta(&h2i)
nop

; data[i1]=h1r+wr*h2r-wi*h2i
m_lda wi                   ; m_lda(wi)
m_ldb h2i                  ; m_ldb(h2i)
call m_mult                ; m_mult()
m_sta wtemp                ; m_sta(&wtemp)
m_lda wr                   ; m_lda(wr)
m_ldb h2r                  ; m_ldb(h2r)
call m_mult                ; m_mult()
m_ldb wtemp                ; m_ldb(wtemp)
call m_sub                 ; m_sub()
m_ldb h1r                  ; m_ldb(h1r)
call m_add                 ; m_add()
m_stai i1, i1+1           ; m_stai(i1)
nop

; data[i2]=h1i+wr*h2i+wi*h2r
m_lda wi                   ; m_lda(wi)
m_ldb h2r                  ; m_ldb(h2r)
call m_mult                ; m_mult()
m_sta wtemp                ; m_sta(&wtemp)
m_lda wr                   ; m_lda(wr)
m_ldb h2i                  ; m_ldb(h2i)
call m_mult                ; m_mult()
m_ldb wtemp                ; m_ldb(wtemp)
call m_add                 ; m_add()
m_ldb h1i                  ; m_ldb(h1i)
call m_add                 ; m_add()
m_stai i2, i2+1           ; m_stai(i2)
nop

; data[i3]=h1r-wr*h2r+wi*h2i
m_lda wr                   ; m_lda(wr)
m_ldb h2r                  ; m_ldb(h2r)
call m_mult                ; m_mult()
m_sta wtemp                ; m_sta(&wtemp)
m_lda wi                   ; m_lda(wi)
m_ldb h2i                  ; m_ldb(h2i)
call m_mult                ; m_mult()
m_ldb wtemp                ; m_ldb(wtemp)
call m_sub                 ; m_sub()
m_ldb h1r                  ; m_ldb(h1r)
call m_add                 ; m_add()
m_stai i3, i3+1           ; m_stai(i3)
nop

; data[i4]=-h1i+wr*h2i+wi*h2r
m_lda wr                   ; m_lda(wr)
m_ldb h2i                  ; m_ldb(h2i)
call m_mult                ; m_mult()
m_sta wtemp                ; m_sta(&wtemp)
m_lda wi                   ; m_lda(wi)
m_ldb h2r                  ; m_ldb(h2r)
call m_mult                ; m_mult()
m_ldb wtemp                ; m_ldb(wtemp)
call m_add                 ; m_add()
m_ldb h1i                  ; m_ldb(h1i)
call m_sub                 ; m_sub()
m_stai i4, i4+1           ; m_stai(i4)
nop

; wtemp=wr

```

```

m_lda wr                ; m_lda(wr)
m_sta wtemp             ; m_sta(&wtemp)

; wr=wr*wpr-wi*wpi+wr
m_lda wi                ; m_lda(wi)
m_ldb wpi               ; m_ldb(wpi)
call m_mult             ; m_mult()
m_sta h1r               ; m_sta(&h1r)
m_lda wr                ; m_lda(wr)
m_ldb wpr               ; m_ldb(wpr)
call m_mult             ; m_mult()
m_ldb h1r               ; m_ldb(h1r)
call m_sub              ; m_sub()
m_ldb wr                ; m_ldb(wr)
call m_add              ; m_add()
m_sta wr                ; m_sta(&wr)

; wi=wi*wpr+wtemp*wpi+wi
m_lda wi                ; m_lda(wi)
m_ldb wpr               ; m_ldb(wpr)
call m_mult             ; m_mult()
m_sta h1r               ; m_sta(&h1r)
m_lda wtemp             ; m_lda(wtemp)
m_ldb wpi               ; m_ldb(wpi)
call m_mult             ; m_mult()
m_ldb h1r               ; m_ldb(h1r)
call m_add              ; m_add()
m_ldb wi                ; m_ldb(wi)
call m_add              ; m_add()
m_sta wi                ; m_sta(&wi)
nop

inext3   infsnz i+1,F,I          ; } next i
         incf i,F,I
iend3    goto iloop3
         nop

; h1r=data[0]
clrf i,I
movlw 0                ; m_ldai(0)
movwf i+1,I
m_ldai i,i+1
m_sta h1r              ; m_sta(&h1r)

; data[0]=h1r+data[1]
movlw 1                ; m_ldbi(1)
movwf i+1,I
m_ldbi i,i+1
call m_add             ; m_add()
movlw 0                ; m_stai(0)
movwf i+1,I
m_stai i,i+1

; data[1]=h1r-data[1]
m_lda h1r              ; m_lda(h1r)
movlw 1                ; m_ldbi(1)
movwf i+1,I
m_ldbi i,i+1
call m_sub             ; m_sub()
movlw 1                ; m_stai(1)
movwf i+1,I
m_stai i,i+1

endrft   return
;
; FIN FFT
;

```

VARS.INC

; Rutina de Declaracion de Variables. Todas se encuentran en Banco 4

; Banco 4

```

cblock H'0402'                ; arithmetic working registers
    ra:2                      ; (format s-2-13)
    rb:2                      ; (format s-2-13)
    tmpi:2                    ; temporary variable
    tmpi2:2                   ; temporary variable
    num_sample:2              ; Numero de Muestra
    m:2
    j:2
    i:2
    wr:2                      ; (formato s-2-13)
    wpr:2                    ; (formato s-2-13)
    wi:2                      ; (formato s-2-13)
    wpi:2                    ; (formato s-2-13)
    theta:2                  ; (formato s-2-13)
    mmax:2                   ; contadores
    rdiv:2                   ; (8 bit unsigned int)
    istep:2
    i1:2
    i2:2
    i3:2
    i4:2
    h1r:2                    ; (formato s-2-13)
    h1i:2                    ; (formato s-2-13)
    h2r:2                    ; (formato s-2-13)
    h2i:2                    ; (formato s-2-13)
    wtemp:2                  ; (formato s-2-13)
    mres3:1
    mres2:1
    mres1:1
    mres0:1
    msign:1
    x0:2                     ; para m_sin
    x1:2
    x2:2
    sin_saveb:2
    rt:2
    sign:1
    LOOPCOUNT
endc

```

Fin VARS3.INC

APÉNDICE B

Descripción del Código

Para poder entender la rutina de la FFT de una forma más fácil, se explicara el algoritmo de la FFT en C++. El código equivalente en Assembler de PIC se puede ver en el anexo A.

```

C++
#define SWAP(a,b) tempr=(a); (a)=(b); (b)=tempr //Definición de instrucción para
//intercambiar valores
void fourl(unsigned long nn,int isign) //Rutina de reversión de bits y
//lema de Danielson-Lanezos
{
    unsigned long n,mmax,m,j,i,istep; //Declaración de Variables
    float tempr,tempi; //wi = seno(theta), wr = coseno(theta)
    double wtemp,wr,wpr,wpi,wi,theta; //wpr = -alfa = -2sen(0.5*delta)
    isign = 1; //wpi = beta = seno(delta)
    //n = numero total de muestras
    //nn = numero total de muestras/2

    n = nn << 1;
    j=1;
    for (i = 1;i < n;i+=2) //Esta es la parte de la reversión de bits
    {
        if (j > i)
        {
            SWAP(data[j],data[i]); //Se intercambian
            SWAP(data[j+1],data[i+1]); //los números complejos.
        }

        m = n >> 1;
        while (m >= 2 && j >= m)
        {
            j -= m;
            m >>= 1;
        }
        j += m;
    }

//Aquí empieza la sección del lema de Danielson-Lanezos

mmax = 2;
while (n > mmax) //Ciclo se ejecuta log2 nn veces
{
    istep = mmax << 1;
    theta = isign*(6.28318530717959/mmax); //Inicialización de recurrencia
    wtemp = sin(0.5*theta); //trigonométrica
    wpr = -2.0*wtemp*wtemp;
    wpi = sin(theta);
    wr = 1.0;
    wi = 0.0;
    for (m = 1;m < mmax;m += 2)
    {
        for (i = m;i <= n;i += istep)
        {
            j = i + mmax;
            tempr = wr*data[j] - wi*data[j+1]; //Formula de Euler
            tempi = wr*data[j+1] + wi*data[j]; //Formula de Euler
        }
    }
}

```

```

    data[j] = data[j]-temp;
    data[j+1] = data[j+1] - temp;
    data[i] += temp;
    data[i+1] += temp;
    }
    wr = (wtemp=wr)*wpr-wi*wpi+wr;
    wi = wi*wpr+wtemp*wpi+wi;
}
nmax = istep;
}
}

void rcalft(unsigned long n, int isign)
{
    void four1(unsigned long nn,int isign);
    unsigned long i,i1,i2,i3,i4,np3;
    float c1=0.5,c2,h1r,h1i,h2r,h2i;
    double wr,wi,wpr,wpi,wtemp,theta;

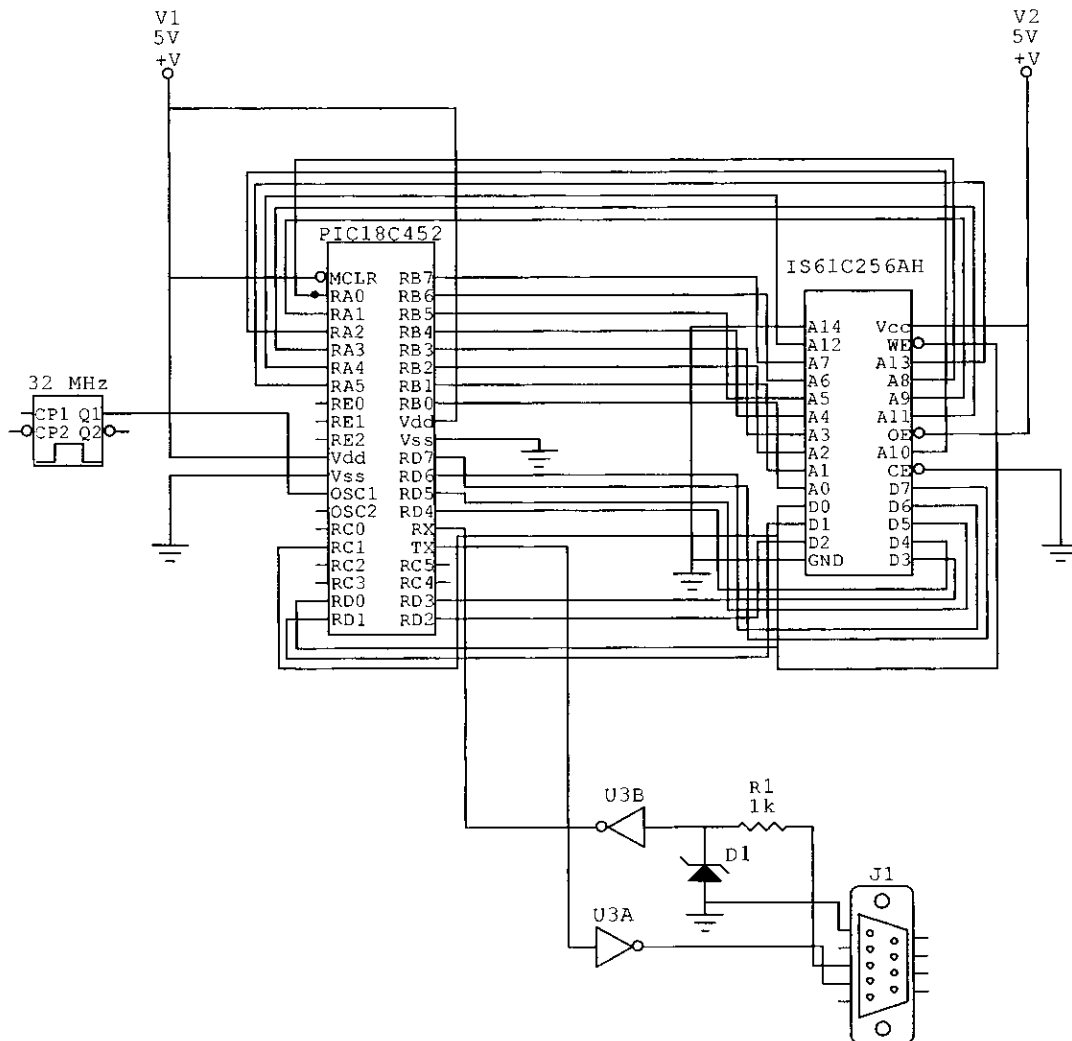
    theta = 3.141592653589793/((double) (n>>1)); //Recurrencia trigonométrica
    if (isign == 1)
    {
        c2 = -0.5;
        four1(n>>1,1); //FFT
    }
    else //FFT inversa
    {
        c2 = 0.5;
        theta = -theta;
    }
    wtemp = sin(0.5*theta);
    wpr = -2.0*wtemp*wtemp;
    wpi = sin(theta);
    wr = 1.0+wpr;
    wi = wpi;
    np3 = n+3;

    for (i = 2;j<=(n>>2);i++)
    {
        i4 = 1+(i3=np3-(i2=1+(i1=i+i-1)));
        h1r = c1*(data[i1]+data[i3]); //Las dos transformadas
        h1i = c1*(data[i2]-data[i4]); //se separan del arreglo
        h2r = -c2*(data[i2]+data[i4]);
        h2i = c2*(data[i1]-data[i3]);
        data[i1] = h1r+wr*h2r-wi*h2i; //Aquí se recombinan para
        data[i2] = h1i+wr*h2i+wi*h2r; //formar la transformada
        data[i3] = h1r-wr*h2r+wi*h2i; //verdadera de los datos reales
        data[i4] = -h1i+wr*h2i+wi*h2r; //originales
        wr = (wtemp=wr)*wpr-wi*wpi+wr; //Recurrencia trigonométrica
        wi = wi*wpr+wtemp*wpi+wi;
    }
    if (isign == 1) //Transformada inversa
    {
        data[1] = (h1r=data[1])+data[2];
        data[2] = h1r-data[2];
    }
}
}

```

APÉNDICE C

Diagrama del Circuito:



Memoria Externa: IS61C256AH

Microcontrolador: PIC18C452

En el microcontrolador, todos los pines con designación RXx corresponden a las entradas y salidas de los puertos. Por ejemplo, las designaciones de RB0 hasta RB7 corresponden a todas las siete entradas y salidas del puerto B. En la memoria externa, todas las designaciones que tengan Ax se refieren al bus de direcciones, mientras que todas las designaciones Dx se refieren al bus de datos, donde x es el número de bit correspondiente.